

Министерство науки и высшего образования Российской Федерации

*Амурский государственный университет*

А.Н. Рыбалёв

## **ПРОГРАММИРОВАНИЕ ПЛК В CODESYS**

### **Типовые системы управления**

*Учебное пособие*

Благовещенск

Издательство АмГУ

2023

ББК 32.965.7 я73

Р 93

*Рекомендовано  
учебно-методическим советом университета*

*Рецензенты:*

Ильченко А.В., исполнительный директор ООО «Ключель»;

Мясоедов Ю.В., декан энергетического факультета АмГУ, канд. техн. наук, профессор

Рыбалёв А.Н. Программирование ПЛК в CoDeSys. Типовые системы управления. Учебное пособие. – Благовещенск: Амурский гос. ун-т, 2023.

Пособие предназначено для студентов 3 и 4 курсов направления подготовки «Автоматизация технологических процессов и производств» и соответствует рабочим программам дисциплин «Средства автоматизации и управления», «Программное обеспечение систем управления», «Автоматизация технологических процессов и производств». Может также использоваться при проведении специализированных курсов повышения квалификации.

© Амурский государственный университет, 2023  
© Рыбалёв А.Н., автор

## СОДЕРЖАНИЕ

СОДЕРЖАНИЕ .....	3
ВВЕДЕНИЕ.....	4
1 ПРОГРАММНО-ЛОГИЧЕСКОЕ УПРАВЛЕНИЕ .....	6
1.1 Комбинационная схема. Управление вентиляцией и освещением .....	6
1.2 Многоточечное управление освещением. Простейший автомат.	10
1.3 Управление смесительной установкой .....	16
1.4 Светофор для пешеходного перехода.....	22
2 АВТОМАТИЧЕСКОЕ РЕГУЛИРОВАНИЕ.....	30
2.1 Релейная система регулирования. Программная реализация ШИМ .....	30
2.2 Система непрерывного регулирования (ПИ-регулятор).....	34
2.3 Система импульсного регулирования (ПИ-регулятор + ШИМ).	36
2.4 Система непрерывного регулирования (ПИ-регулятор) с компенсацией возмущений .....	38
2.5 Система непрерывного регулирования (ПИ-регулятор) с исполнительным механизмом постоянной скорости .....	41
2.6 Система программного регулирования .....	46
3 ЧИСЛОВОЕ ПРОГРАММНОЕ УПРАВЛЕНИЕ .....	52
БИБЛИОГРАФИЧЕСКИЙ СПИСОК .....	61

## ВВЕДЕНИЕ

Программируемые логические контроллеры (ПЛК) являются основным средством автоматизации технологических процессов во всех отраслях промышленности. На сегодняшний день существует большое разнообразие ПЛК, отличающихся по назначению, архитектуре, информационной мощности и другим параметрам. Многочисленны также и системы программирования ПЛК. Многие изготовители, особенно это касается крупных электротехнических компаний, самостоятельно разрабатывают программное обеспечение (компьютерные программы для персональных компьютеров), предназначенное для работы с их изделиями: программирования, отладки, мониторинга, сбора информации, визуализации технологического процесса и т.д. Другие производители ПЛК интегрируют свои решения с универсальными средами разработки, такими как CoDeSys, IsaGRAPH и др. Эти системы полностью удовлетворяют стандарту IEC 61131-3, предлагая пользователю типовые программные решения и пять языков программирования, рекомендованные стандартом. Необходимо отметить, что в последнее время и «фирменное» ПО, оставаясь «заточенным» на архитектуру конкретных ПЛК и их семейств, старается следовать этим рекомендациям, пусть не всегда и не в полном объеме. Это в принципе позволяет производить разработку в одних средах, а использовать полученные решения – в других. Наиболее перспективными в данном плане инструментами являются текстовый язык высокого уровня ST (Structured Text) и графические языки LD (Ladder Diagrams) и FBD (Functional Block Diagrams). В настоящей работе задействована бесплатно распространяемая среда разработки CoDeSys 2.3 [1], совместимая со всеми версиями ОС Windows, используемыми в настоящее время, и предъявляющая минимальные требования к аппаратным средствам компьютера. Программы апробируются и отлаживаются либо в режиме эмуляции, т.е. в самой среде разработки, либо на виртуальном контроллере PLCWinNT24, входящем в состав пакета. Второй вариант предпочтительнее для случаев, когда требуется тщательно выдерживать временные параметры. В частности, это касается систем автоматического регулирования. Виртуальный контроллер является самостоятельной программой, предназначенной для работы в реальном времени (в той «степени реальности», с которой операционная система Windows ему это позволяет).

Определенную проблему при разработке программного обеспечения для ПЛК представляет отладка. Программисту, пишущему программу для персонального компьютера, ничего кроме компьютера не нужно, так как «объектом управления» для его программы является сам компьютер (здесь мы не принимаем во внимание вопросы совместимости). Объектом управления для программы ПЛК является технологическое оборудование, и проводить на нем отладку крайне нежелательно, если вообще возможно. Поэтому ее приходится проводить на моделях, и на программиста возлагается «двойная работа»: помимо собственно управляющей программы, он должен со-

здать и модель объекта управления (причем, как правило, – в первую очередь). Ситуацию несколько смягчает то обстоятельство, что модель должна реализовать только те аспекты состояния и поведения объекта, которые существенны для управляющей программы, но и это – достаточно сложная задача, часто превосходящая по сложности разработку самой этой программы.

Модель объекта управления может быть построена в таких системах имитационного моделирования, как Simulink Matlab, а межпрограммный обмен организован посредством доступных протоколов, в частности OPC [2]. При таком подходе в CoDeSys обязательно используется виртуальный контроллер, поскольку режим эмуляции не поддерживает взаимодействие с OPC-сервером. Преимущества подхода очевидны: во-первых, Simulink является мощным средством, позволяющим создать модель практически сколь угодно сложного объекта, во-вторых, сам «объект» отделяется от «системы управления», становясь самостоятельной сущностью, что дает возможность четко обозначить границы и связи между ними.

Однако применение внешних моделей имеет один существенный недостаток, а именно – сложность создаваемой программной конструкции. Помимо бесплатной среды CoDeSys требуется наличие системы имитационного моделирования, которая, как в случае с Simulink, входит в состав «тяжелого» и отнюдь не бесплатного математического пакета. Часто вызывает затруднения и установка соединения между программами.

В данной работе модели всех объектов управления реализованы непосредственно в CoDeSys, как часть программы ПЛК, что значительно упрощает разработку. «Объекты» живут в отдельных подпрограммах, обмениваясь «сигналами» с системой управления (другими подпрограммами) через общий список глобальных переменных. При переносе результатов разработки на целевую платформу потребуется всего лишь удалить подпрограммы-объекты и перенести часть глобальных переменных в конфигурационные списки, привязав их к реальным входам и выходам ПЛК (или сетевым переменным, если обмен производится по промышленной сети).

В пособии рассматриваются четыре системы программно-логического управления, шесть систем автоматического регулирования и одна система числового программного управления. Все системы, будучи весьма упрощенными, в то же время являются законченными в том смысле, что они полностью решают те задачи, которые на них возлагаются на практике. В частности, системы регулирования помимо собственно автоматического регулирования допускают и ручное управление исполнительными механизмами.

Пособие почти не содержит теоретических сведений и ориентировано исключительно на практический курс. Многие детали намеренно не раскрываются в расчете на интуицию лиц, выполняющих работы по воспроизведению систем. Это касается по большей части деталей настройки элементов визуализации. При проведении занятий возможен и такой подход, при котором часть проекта, например, модель объекта или экран визуализации, выдается в уже готовом виде и требуется воспроизвести оставшуюся часть.

# 1 ПРОГРАММНО-ЛОГИЧЕСКОЕ УПРАВЛЕНИЕ

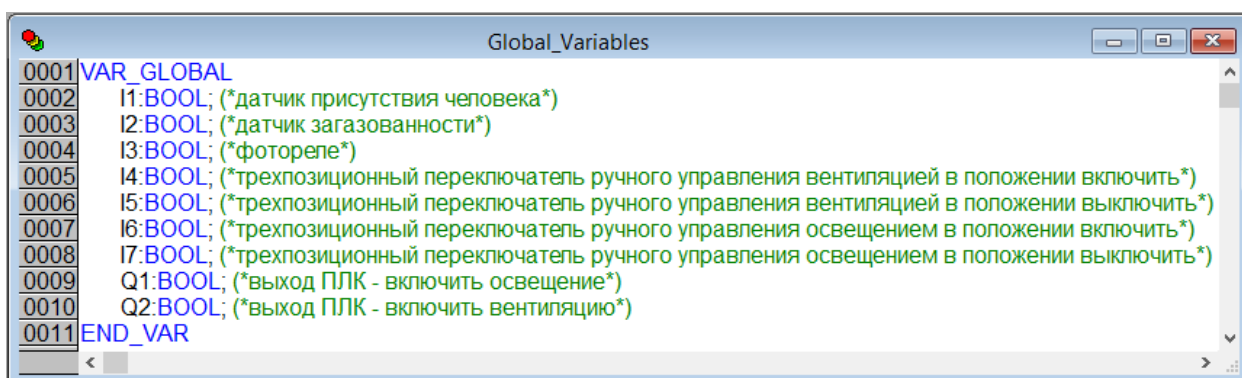
## 1.1 Комбинационная схема. Управление вентиляцией и освещением

В комбинационных схемах выходы системы однозначно определяются входами в каждый момент времени. Практически это означает, что программа управления не нуждается в каких-либо дополнительных переменных.

Ниже рассмотрена система управления освещением и вентиляцией помещения [2]. Система осуществляет:

- автоматическое включение вентилятора по сигналу датчика загазованности;
- автоматическое включение освещения в присутствии человека по сигналу фотореле;
- ручное управление вентиляцией и освещением (является приоритетным по отношению к сигналам датчиков).

Все переменные программы являются входами и выходами контроллера. В программе для виртуального контроллера (или вообще при отсутствии контроллера) эти переменные логично сделать глобальными, поскольку в реальном ПЛК они действительно являются таковыми, хотя и объявляются отдельно. Список глобальных переменных показан на рис. 1.



```
0001 VAR_GLOBAL
0002 I1:BOOL; (*датчик присутствия человека*)
0003 I2:BOOL; (*датчик загазованности*)
0004 I3:BOOL; (*фотореле*)
0005 I4:BOOL; (*трехпозиционный переключатель ручного управления вентиляцией в положении включить*)
0006 I5:BOOL; (*трехпозиционный переключатель ручного управления вентиляцией в положении выключить*)
0007 I6:BOOL; (*трехпозиционный переключатель ручного управления освещением в положении включить*)
0008 I7:BOOL; (*трехпозиционный переключатель ручного управления освещением в положении выключить*)
0009 Q1:BOOL; (*выход ПЛК - включить освещение*)
0010 Q2:BOOL; (*выход ПЛК - включить вентиляцию*)
0011 END_VAR
```

Рис. 1. Список глобальных переменных

Экран визуализации, предназначенный для отладки программы и демонстрации ее работы, показан на рис. 2.

Управление входами осуществляется с помощью кнопок с фиксацией и «подтверждается» изменением цвета отдельных элементов визуализации, а также изменением видимости элементов, составляющих фигурку человека. Включение освещения и вентиляции приводит к изменению цветов «помещения» в целом и «вентилятора» соответственно.

Отдельно рассмотрим реализацию трехпозиционных переключателей на базе трех кнопок с фиксацией: ON, AUTO и OFF. Нажатие на каждую из этих кнопок должно приводить к изменению сразу двух переменных, например I4 и I5. Поэтому кнопки привязываются к выполнению программ «внутреннего присваивания» INTERN ASSIGN, как показано на рис. 3 для кнопки перевода в автоматический режим системы управления вентиляцией.

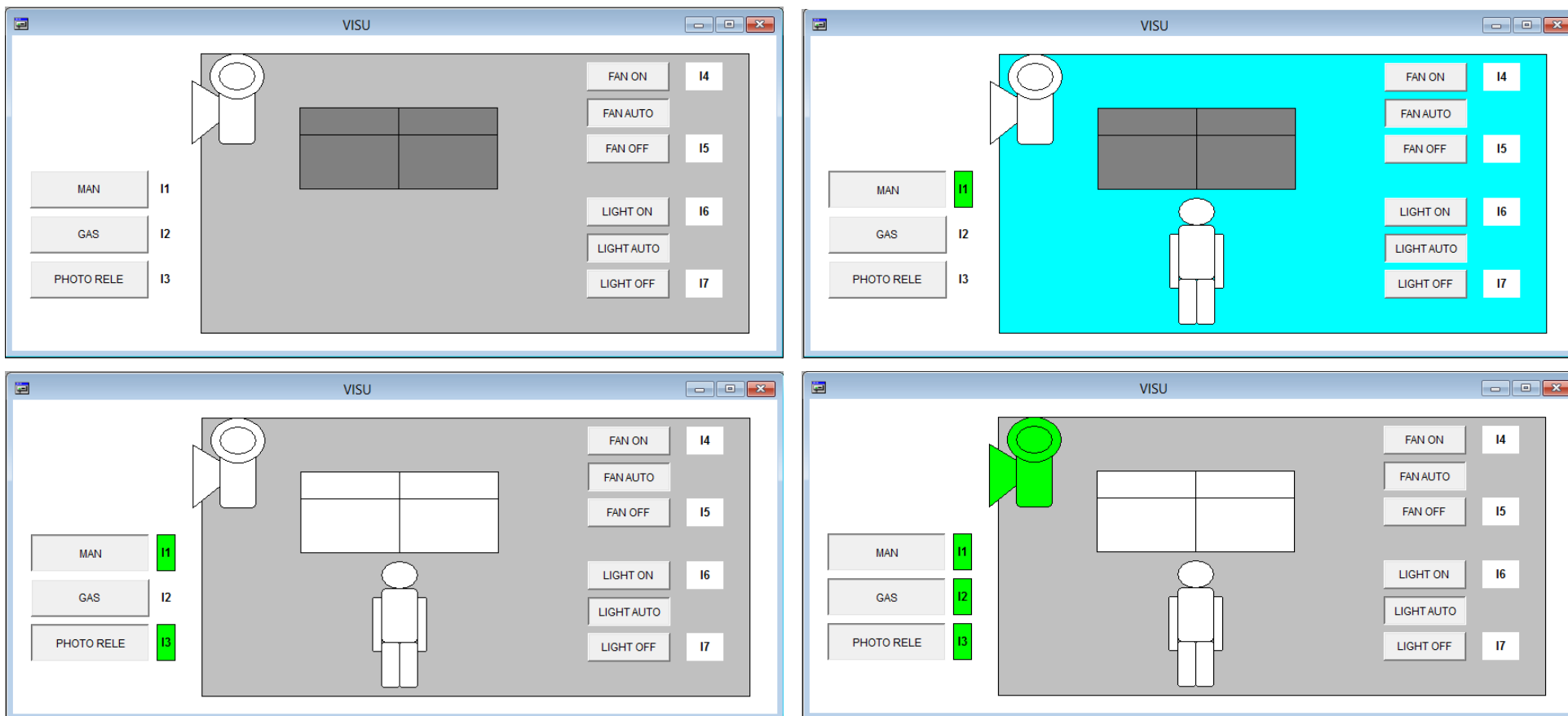


Рис. 2. Экран визуализации в работе

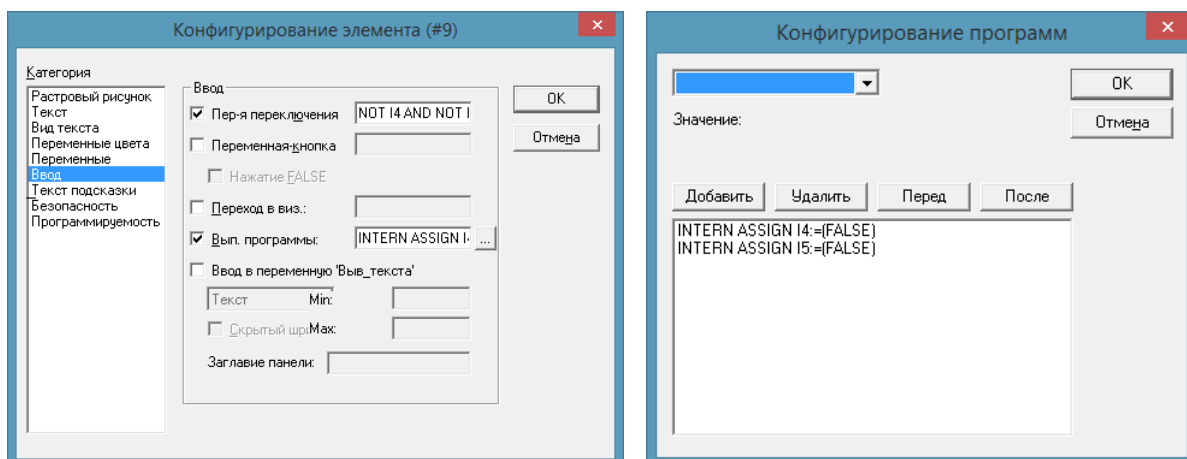


Рис. 3. Настройка кнопки для изменения значений нескольких переменных

Алгоритмы включения освещения и вентиляции представлены логическими выражениями [2]:

$$Q_1 = I_1 I_6 + I_1 \bar{I}_3 \bar{I}_7,$$

$$Q_2 = \bar{I}_1 I_2 + I_1 I_2 \bar{I}_5 + I_1 I_4.$$

**Освещение** включается ( $Q_1$ ), если  
[человек находится в помещении ( $I_1$ ) **И** дан приказ на включение освещения ( $I_6$ )

**ИЛИ** (+)

[человек находится в помещении ( $I_1$ ) **И** фотореле не сработало ( $\bar{I}_3$ ) **И** нет приказа выключить освещение ( $\bar{I}_7$ )].

**Вентиляция** включается ( $Q_2$ ), если

[человек не находится в помещении ( $\bar{I}_1$ ) **И** помещение загазовано ( $I_2$ )

**ИЛИ**

[человек находится в помещении ( $I_1$ ) **И** помещение загазовано ( $I_2$ ) **И** нет приказа выключить вентилятор ( $\bar{I}_7$ )]

**ИЛИ**

[человек находится в помещении ( $I_1$ ) **И** есть приказ включить вентилятор ( $I_6$ )].

Программа управления на языке ST формирует логические выражения при помощи операторов NOT, AND и OR, рис. 4.

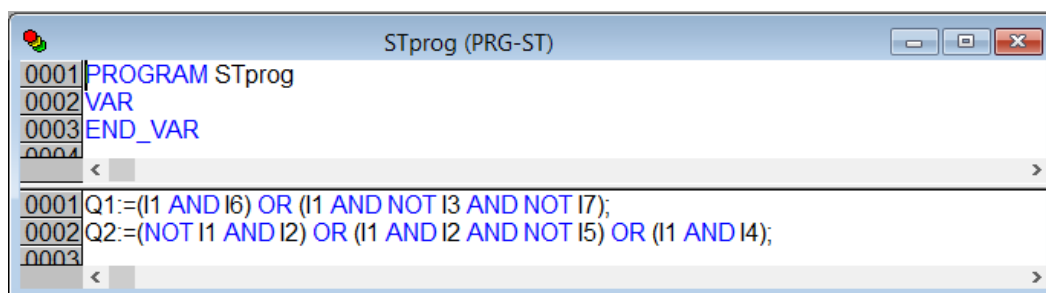


Рис. 4. Программа управления на языке ST

Программа управления на языке FBD задействует стандартные блоки-операторы AND и OR, а логическое отрицание производится путем инверсии на соответствующих входах, рис. 5.

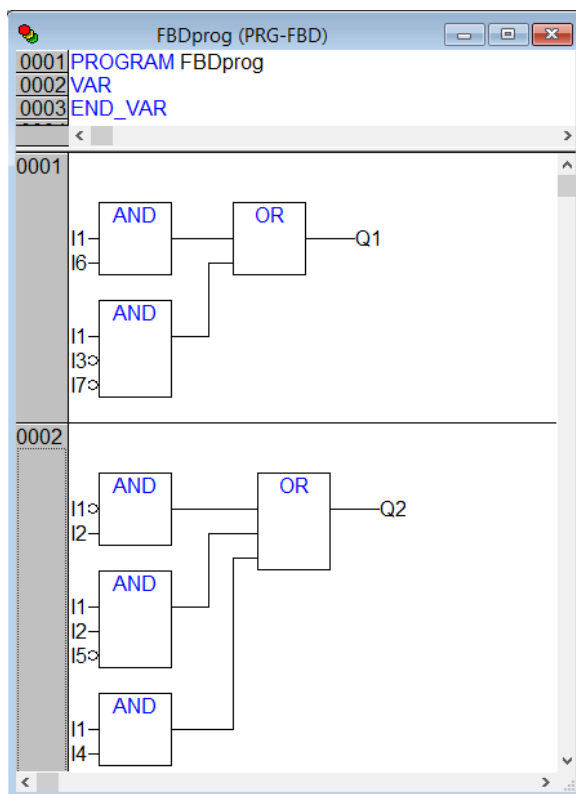


Рис. 5. Программа управления на языке FBD

Программа управления на языке LD выглядит как обычная релейно-контактная схема, в которой фигурируют «контакты», связанные с входами, и «катушки», связанные с выходами. Если логическая переменная участвует в выражении в инвертированном виде, задействуется нормально закрытый контакт. Логика «И» реализуется последовательным соединением контактов, а «ИЛИ» – параллельным, рис. 6.

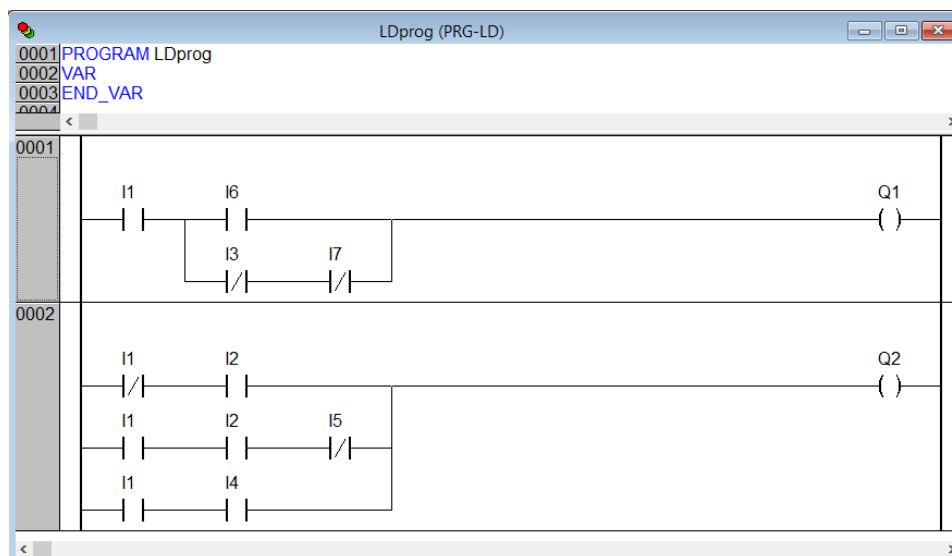


Рис. 6. Программа управления на языке LD

В «основной программе» PLC\_PRG, которую лучше написать на языке ST, не делается ничего, кроме вызова на исполнение одной из трех представленных выше программ управления.

## 1.2 Многоточечное управление освещением. Простейший автомат

Рассмотрим сначала систему управления освещением длинного коридора с двумя дверями в двух его концах. Требуется, чтобы человек, войдя через одну из дверей, мог включить свет в коридоре, а, подойдя к другой двери, – выключить. Одно из решений показано на рис. 7 в виде электрической схемы.

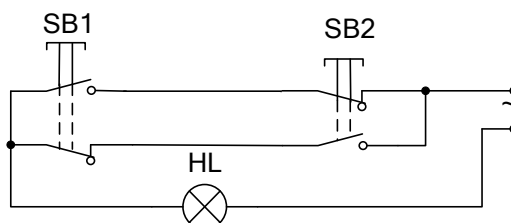


Рис. 7. Схема управления освещением коридора с двумя дверями

В схеме задействованы сдвоенные кнопки с фиксацией (или переключатели с перекидными контактами), установленные в разных концах коридора. Если обозначить их состояния переменным  $I_1$  и  $I_2$ , а факт включения освещения – переменной  $Q$ , логику работу системы можно описать выражением:

$$Q = I_1 \bar{I}_2 + \bar{I}_1 I_2.$$

Рассмотренный подход можно распространить и для общего случая, когда имеется одно большое помещение с множеством дверей, просто «копируя» показанные на рис. 7 цепи для каждой отдельной пары дверей. Таким образом, около каждой двери будет располагаться небольшой «пультик» с переключателями, число которых будет на единицу меньше, чем общее число дверей. Предполагается, что человек, заходя в помещение, заранее знает, через какую дверь он должен выйти, и, исходя из этого, выбирает соответствующий переключатель. Однако есть и более удачное решение, снимающее это ограничение и сводящее число переключателей на «пультике» до одного, правда, путем увеличения числа его полюсов.

Переключатели, задействованные в схеме, имеют два состояния: «кнопка нажата и зафиксирована» (обозначим его единицей) и «кнопка не нажата» (обозначим его нулем). Условия включения освещения для схемы, приведенной на рис. 7, могут быть представлены таблицей:

Таблица 1. Условия включения освещения для схемы на рис.6

Состояние переключателя 1	Состояние переключателя 2
1	0
0	1

Отметим, что строки таблицы полностью соответствуют «слагаемым»

из вышеприведенной формулы.

Для каждого переключателя имеется возможность «изменить ситуацию», т.е. включить или выключить свет, поскольку другой переключатель позволяет ему это сделать. Этот принцип может быть использован и в случае, если число переключателей более двух. Пусть у нас три переключателя (три двери). Тогда таблица будет иметь вид:

Таблица 2. Условия включения освещения для случая трех дверей

Состояние переключателя 1	Состояние переключателя 2	Состояние переключателя 3
1	1	1
1	0	0
0	1	0
0	0	1

Таблица составлена следующим образом. В первых двух столбцах представлены все комбинации состояний первых двух переключателей. Третий столбец построен так, чтобы для переключателей 1,2 (столбцов таблицы) оставшиеся два других переключателя (второй и третий, первый и третий) также представляли все возможные их состояния. Если мы исключим из таблицы первый столбец, оставшиеся второй и третий дадут все комбинации состояний второго и третьего переключателей. Исключая, аналогично, второй столбец, получим все комбинации состояний первого и третьего. Этим обеспечивается возможность включать и выключать освещение любым переключателем при любом состоянии всех других переключателей.

Соответствующее таблице логическое выражение:

$$Q = I_1 I_2 I_3 + I_1 \bar{I}_2 \bar{I}_3 + \bar{I}_1 I_2 \bar{I}_3 + \bar{I}_1 \bar{I}_2 I_3.$$

Добавим еще одну дверь и один переключатель, тогда таблица примет вид:

Таблица 3. Условия включения освещения для случая четырех дверей

Состояние переключателя 1	Состояние переключателя 2	Состояние переключателя 3	Состояние переключателя 4
1	1	1	1
1	1	0	0
1	0	1	0
1	0	0	1
0	1	1	0
0	1	0	1
0	0	1	1
0	0	0	0

Соответствующее логическое выражение:

$$Q = I_1 I_2 I_3 I_4 + I_1 I_2 \bar{I}_3 \bar{I}_4 + I_1 \bar{I}_2 I_3 \bar{I}_4 + I_1 \bar{I}_2 \bar{I}_3 I_4 + \bar{I}_1 I_2 I_3 \bar{I}_4 + \bar{I}_1 I_2 \bar{I}_3 I_4 + \bar{I}_1 \bar{I}_2 I_3 I_4 + \bar{I}_1 \bar{I}_2 \bar{I}_3 \bar{I}_4.$$

Электрическая схема, построенная на основе данного выражения, показана на рис. 8.

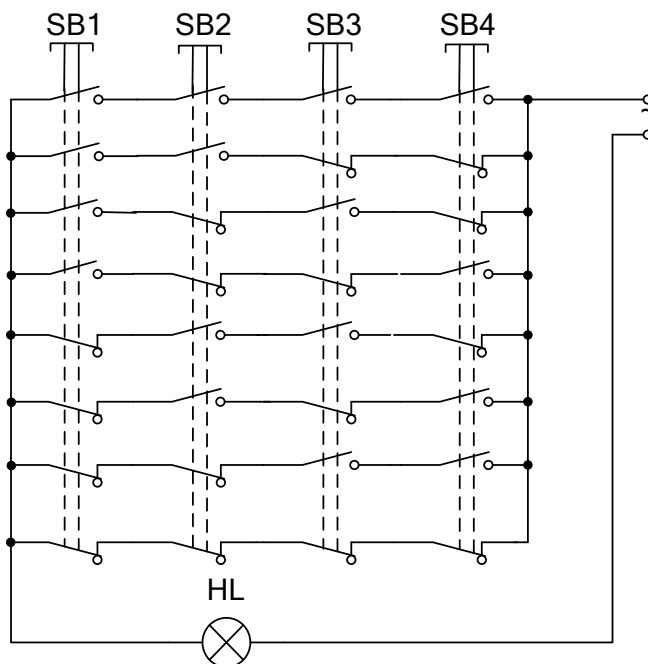


Рис. 8. Схема управления освещением помещения с четырьмя дверями

Рассмотрим программную реализацию системы. Список глобальных переменных ограничен входами и выходами контроллера, рис. 9.

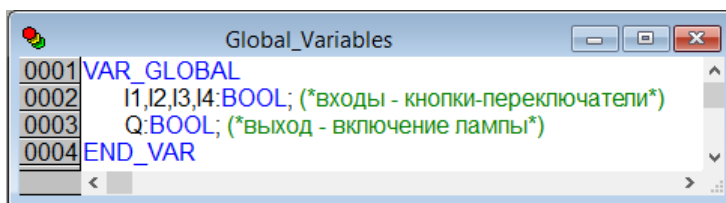


Рис. 9. Глобальные переменные

Программа на языке ST «один к одному» повторяет логическое выражение, приведенное выше, рис. 10.

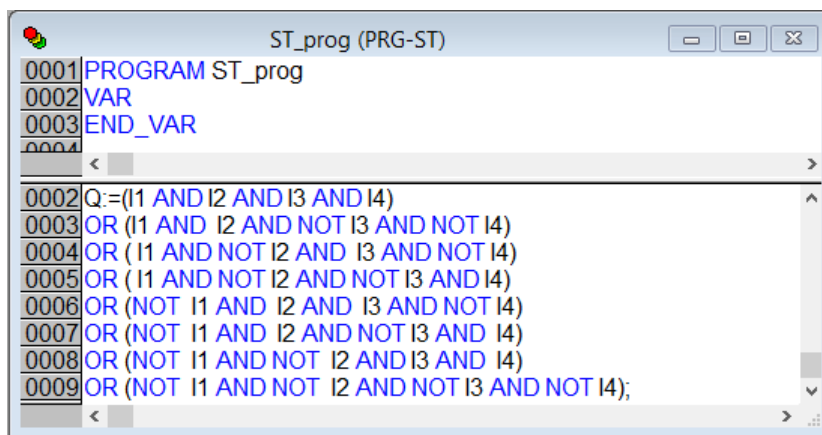


Рис. 10. Программа управления на языке ST

11. Программа на языке LD «воспроизводит» электрическую схему, рис.

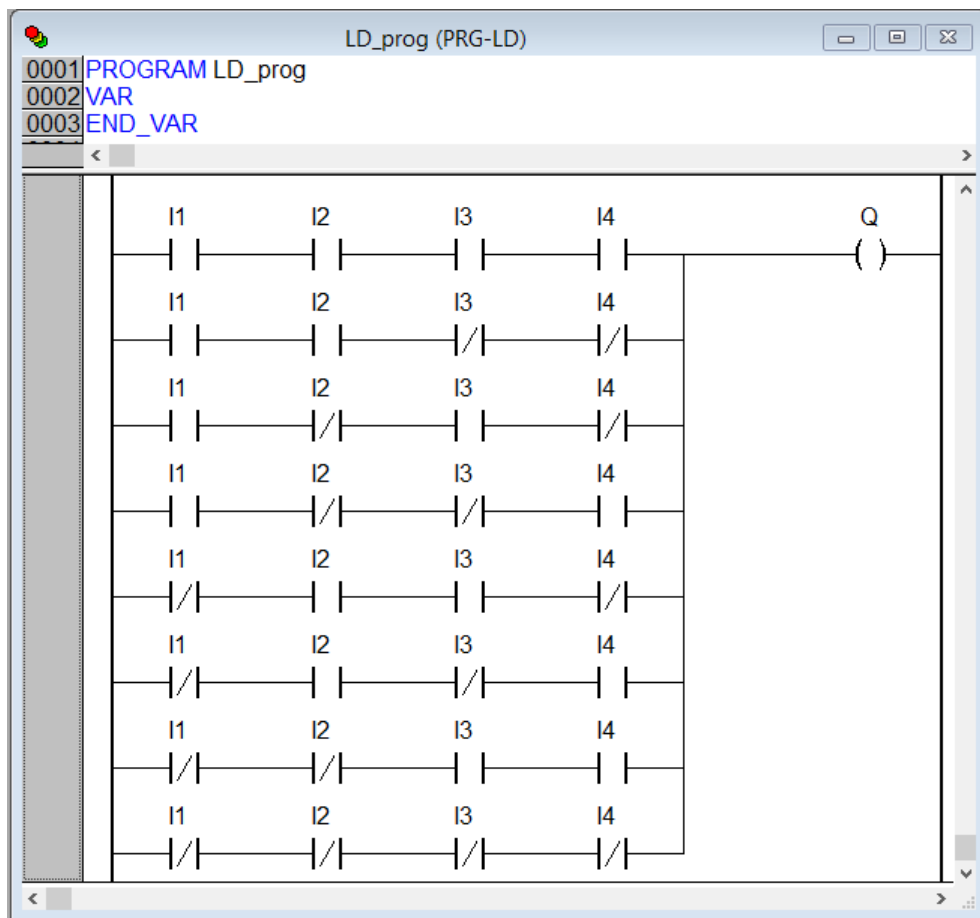


Рис. 11. Программа управления на языке LD

Окно визуализации, показанное на рис. 12, позволяет опробовать систему в действии. Оно содержит четыре кнопки с фиксацией, привязанные к входам, и «лампу», меняющую цвет при изменении выходной переменной.

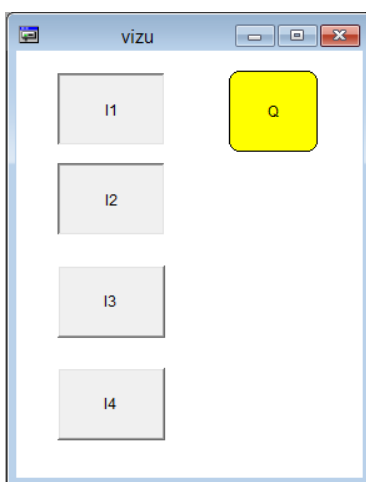


Рис. 12. Окно визуализации

В PLC\_PRG производится вызов одной из двух программ: ST\_prog или LD\_prog.

Рассмотренное выше решение имеет очевидный недостаток: «лавинное» увеличение числа контактов переключателей при увеличении числа дверей. Если нам потребуется добавить пятую дверь, в схеме необходимо будет обеспечить полный набор всех возможных состояний уже четырех переключателей. Это означает, что схема будет содержать 16 участков коммутации, а каждый переключатель должен быть оснащен 16 контактами (8 нормально открытых и 8 нормально закрытых). Такую схему будет довольно сложно реализовать «в железе» просто потому, что вряд ли найдутся подходящие переключатели. Построить систему на базе ПЛК проще, так как подойдут обычные, одноконтактные, кнопки с фиксацией, а вся логика будет реализована программно. Усложнение программы не является большой проблемой, тем более что логические операции выполняются на ПЛК очень быстро. Но на самом деле и электрическую схему, и программный код можно существенно упростить, если использовать не комбинационную логику, а *автоматный* подход.

Систему следует рассматривать как *конечный автомат*, который может находиться в различных состояниях (число которых конечно). В каждом состоянии реализуется *своя* логическая зависимость выходов от входов и *своя* логика переходов в другие состояния. При этом автомат всегда знает (помнит), в каком он находится состоянии в текущий момент времени.

В нашем случае состояний всего два: «освещение выключено» и «освещение включено». Логика управления выходом (включения лампы):

- в состоянии «освещение выключено» – лампы не включать;
- в состоянии «освещение включено» – лампы включить.

Логика переходов:

- из состояния «освещение выключено» в состояние «освещение включено» – по нажатию одной из кнопок «Включить свет», установленных около дверей, сколько бы их ни было;
- из состояния «освещение включено» в состояние «освещение выключено» – по нажатию одной из кнопок «Выключить свет», установленных около дверей, сколько бы их ни было.

Электрическая схема, воспроизводящая автомат для случая четырех дверей, показана на рис. 13.

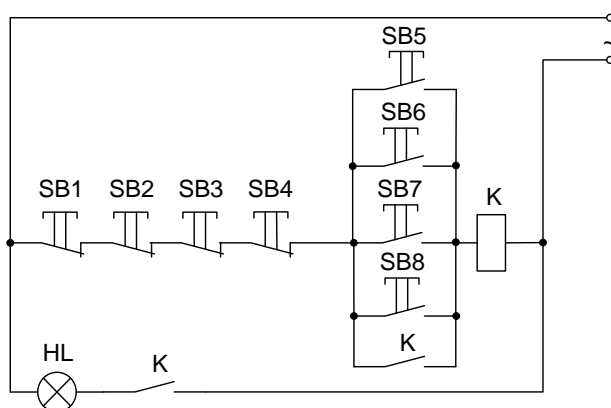


Рис. 13. Электрическая схема (автоматный подход)

Здесь применен некий коммутирующий аппарат (электромагнитное реле, магнитный пускатель), который подает напряжение на лампу и одновременно «запоминает» состояние схемы. SB1...SB4 – кнопки «Выключить свет», SB5...SB8 – кнопки «Включить свет». Все кнопки – без фиксации. «Запоминание» состояния производится с помощью дополнительного контакта аппарата К, шунтирующего кнопки SB5...SB8.

Очевидно, что эту схему можно «масштабировать» на любое количество дверей, просто добавляя кнопки.

Программная реализация системы включает список глобальных переменных (рис. 14), окно визуализации (рис. 15) и два варианта программы управления: на языке ST (рис. 16) и на языке LD (рис. 17), один из которых вызывается из PLC\_PRG.

```

Global_Variables
0001 VAR_GLOBAL
0002 sb_off1, sb_off2, sb_off3, sb_off4: BOOL; (*входы, кнопки "Выключить свет"*)
0003 sb_on1, sb_on2, sb_on3, sb_on4: BOOL; (*входы, кнопки "Включить свет"*)
0004 k: BOOL; (*выход, элемент, запоминающий состояние*)
0005 END_VAR
  
```

Рис. 14. Глобальные переменные

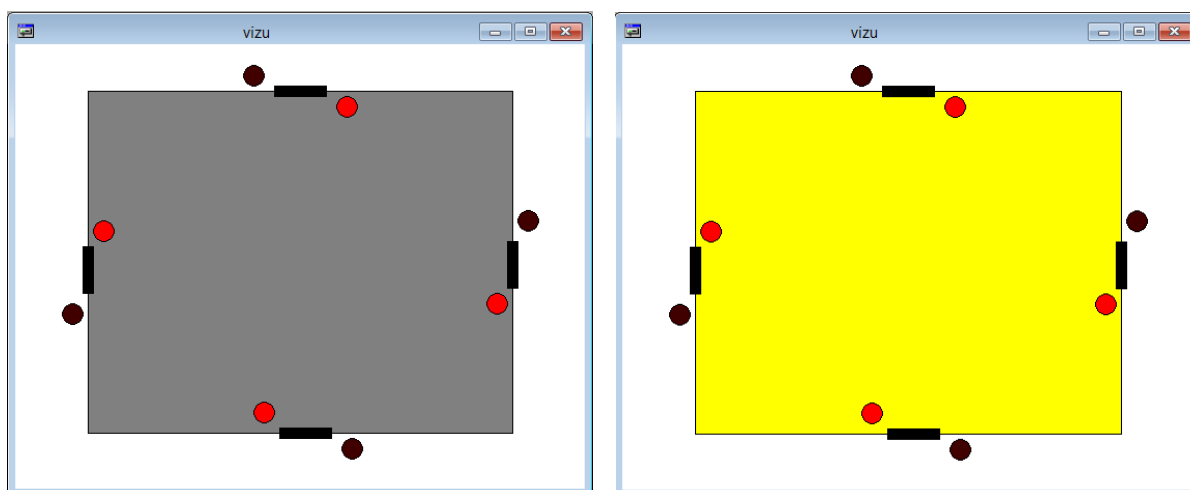


Рис. 15. Окно визуализации в работе

На окне визуализации около каждой двери размещены «кнопки». Черная кнопка предназначена для включения освещения, красная – для отключения.

```

ST_prog (PRG-ST)
0001 PROGRAM ST_prog
0002 VAR
0003 END_VAR
0004
0001 k:=NOT sb_off1 AND NOT sb_off2 AND NOT sb_off3 AND NOT sb_off4 AND
0002 (sb_on1 OR sb_on2 OR sb_on3 OR sb_on4 OR k);
0003
  
```

Рис. 16. Программа управления на языке ST

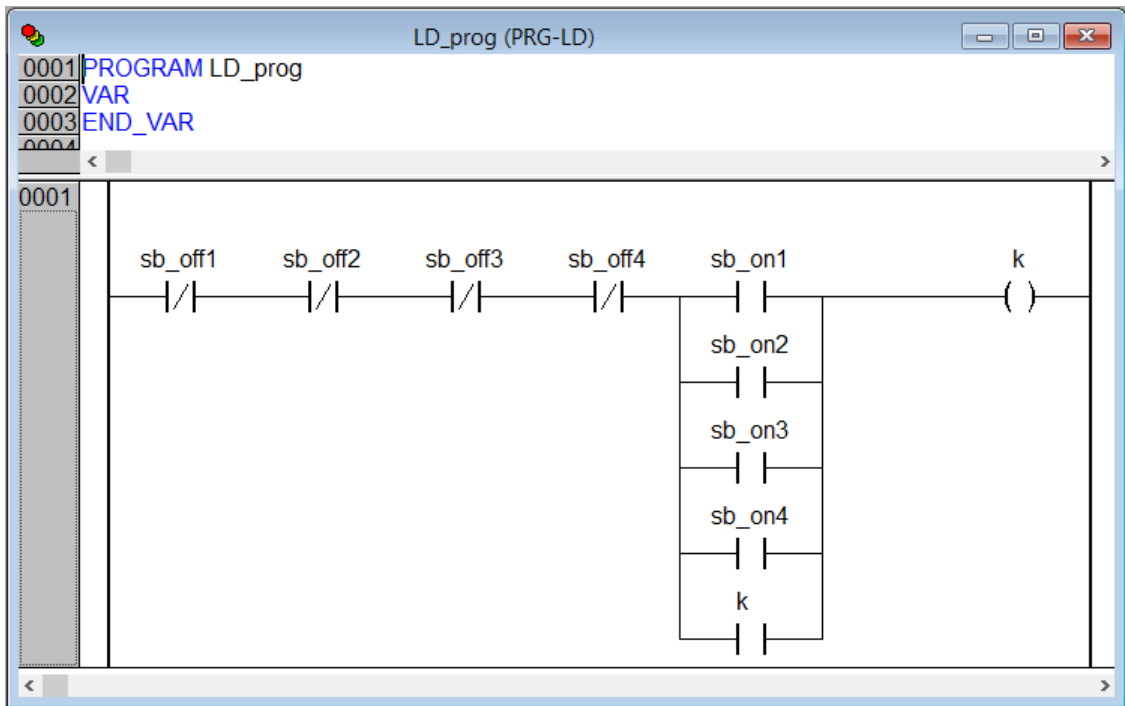


Рис. 17. Программа управления на языке LD

### 1.3 Управление смесительной установкой

Смесительная установка (рис. 18) предназначена для смешивания двух жидких ингредиентов. Управление подачей ингредиентов в емкость производится электромагнитными клапанами Y1 и Y2. Управление сливом смеси – электромагнитным клапаном Y3.

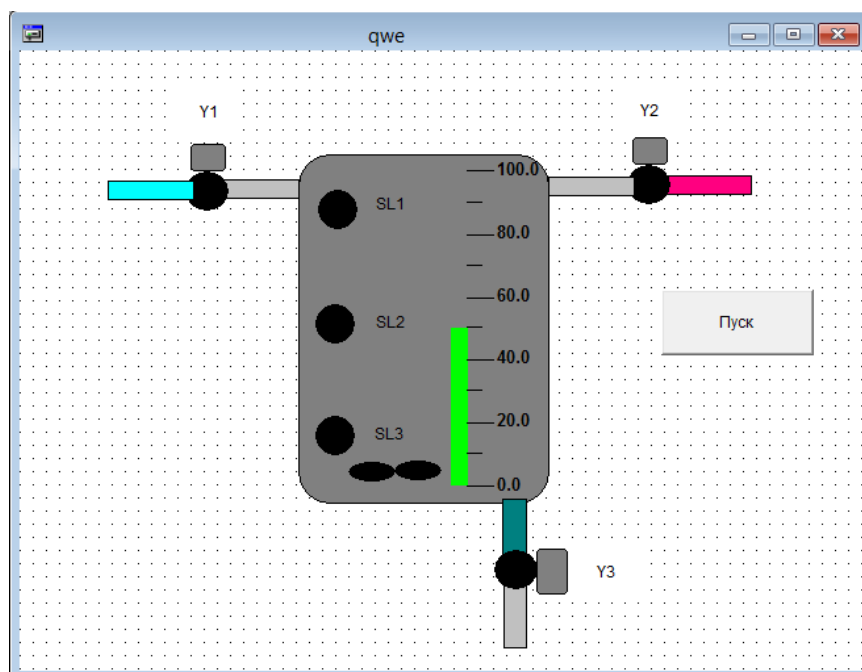


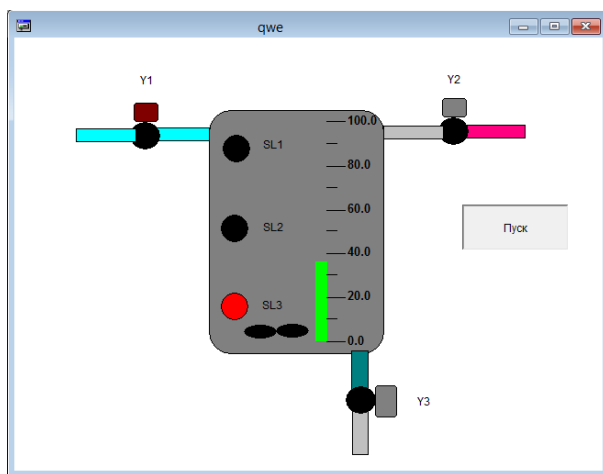
Рис. 18. Смесительная установка (окно визуализации)

Уровень в емкости контролируется тремя датчиками SL1, SL2, SL3 дискретного типа. В окне визуализации имеется также «измеритель» непре-

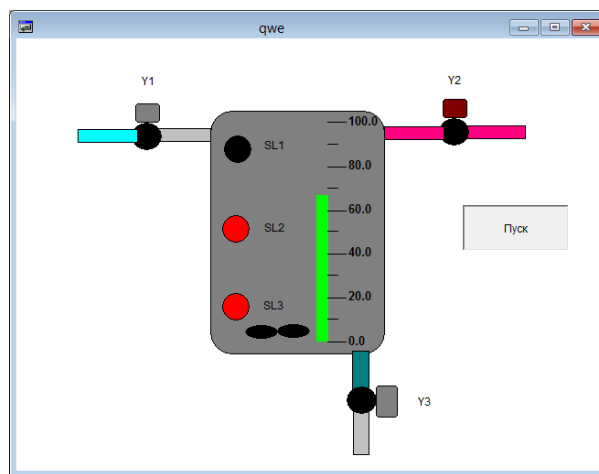
рывного типа, однако он – всего лишь инструмент моделирования и отладки, в реальной системе его нет.

На рис. 19 показаны стадии процесса приготовления смеси:

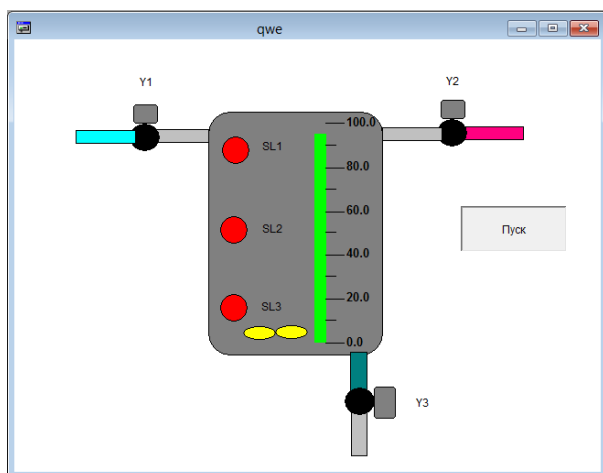
- 1) подача первого ингредиента (заканчивается при срабатывании датчика SL2);
- 2) подача второго ингредиента (заканчивается при срабатывании датчика SL1);
- 3) перемешивание (мешалка работает в течение заданного времени);
- 4) слив смеси (заканчивается при отключении датчика SL3).



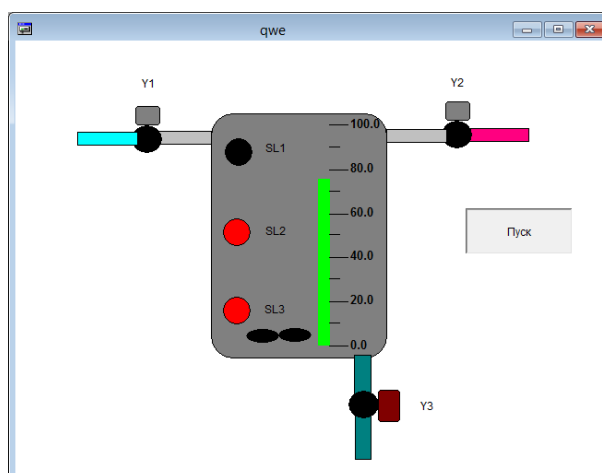
*Наполнение первым ингредиентом*



*Наполнение вторым ингредиентом*



*Перемешивание*



*Слив*

Рис. 19. Стадии процесса

Глобальные переменные проекта представлены на рис. 20.

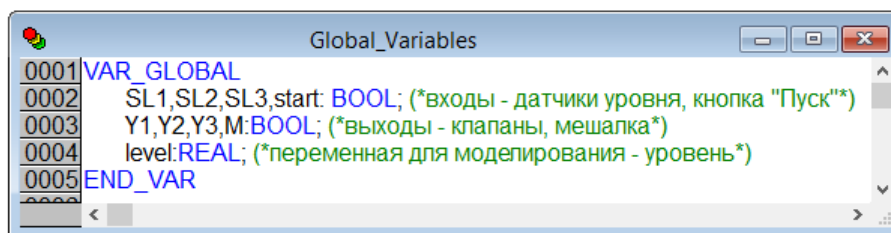


Рис. 20. Глобальные переменные



```
0001 PROGRAM control_ST
0002 VAR
0003     status: BYTE; (*состояние автомата*)
0004     timer:TON;
0005 END_VAR
0006
0001 CASE status OF
0002 0: (*ожидание*)
0003     timer(IN:=FALSE);
0004     Y1:=Y2:=Y3:=M:=FALSE;
0005     IF start THEN status:=1; END_IF
0006 1: (*подача первого ингр.*)
0007     timer(IN:=FALSE);
0008     Y1:=TRUE;
0009     Y2:=Y3:=M:=FALSE;
0010     IF SL2 THEN status:=2; END_IF
0011 2: (*подача второго ингр.*)
0012     timer(IN:=FALSE);
0013     Y2:=TRUE;
0014     Y1:=Y3:=M:=FALSE;
0015     IF SL1 THEN status:=3; END_IF
0016 3: (*перемешивание*)
0017     timer(IN:=TRUE,PT:=t#5s);
0018     Y1:=Y2:=Y3:=FALSE;
0019     M:=TRUE;
0020     IF timer.Q THEN status:=4; END_IF
0021 4: (*слив*)
0022     timer(IN:=FALSE);
0023     Y1:=Y2:=M:=FALSE;
0024     Y3:=TRUE;
0025     IF NOT SL3 THEN status:=0; END_IF
0026 END_CASE
```

Рис. 22. Программа управления на языке ST

Программа демонстрирует «правило», согласно которому в каждом состоянии производится управление всеми выходами. Это может казаться избыточным, и часто так оно и есть, но зато позволяет исключить трудно обнаруживаемые ошибки, когда выходы, включенные в одном состоянии, забыли выключить в другом. То же самое касается и таймера, поскольку таймер для автомата – внешняя сущность, такая же, как объект управления. На неявный «вход» автомата поступает сигнал о срабатывании таймера (`timer.Q`). Через неявный «выход» автомат управляет таймером, запуская его или сбрасывая (`timer(...)`). Если забыть сбросить таймер перед его повторным запуском, выдержка времени не состоится.

Сам автомат с пятью состояниями, очевидно, является избыточным. Состояния 1 и 2 легко объединяются, поскольку управление клапанами Y1 и Y2 в них можно «поручить» датчику SL2, как это и сделано в управляющих программах на других языках. В результате объединения получилось состоя-

ние 12 – «наполнение». На рис. 23 показана программа управления на языке SFC.

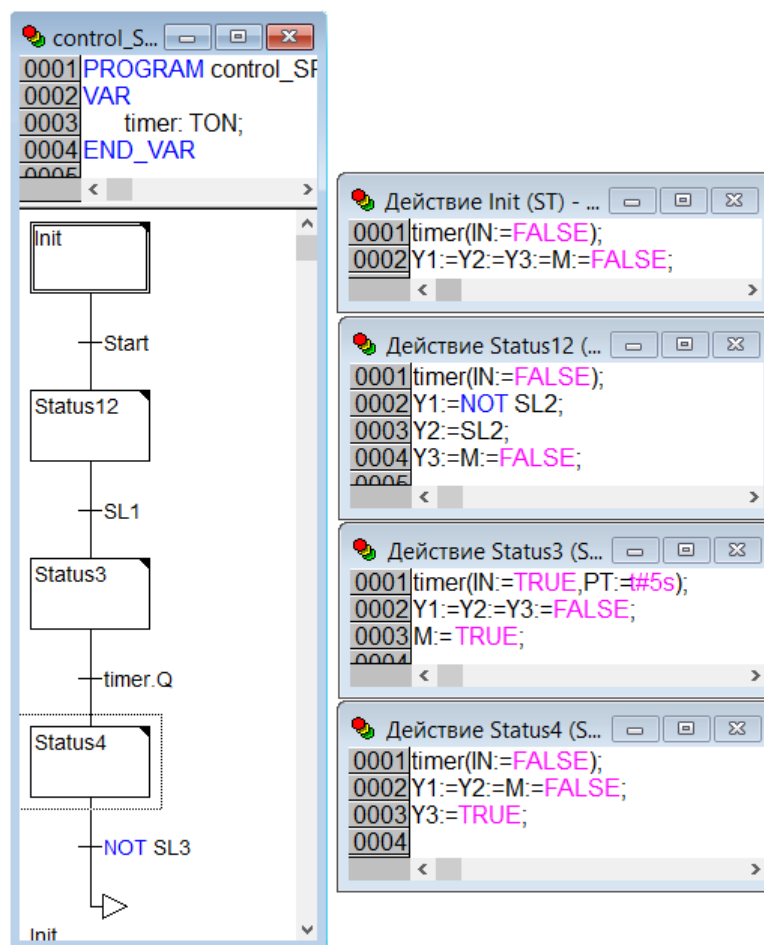


Рис. 23. Программа управления на языке SFC

Программа на SFC состоит из программируемых на других языках шагов (действий) и переходов. Переходы могут представлять обычные логические выражения, как в нашем случае, но могут быть и программами, результатом выполнения которых является логическое значение FALSE или TRUE. В любом случае переход «активируется», если его значение TRUE. Далее активируется шаг, к которому ведет переход, и начинают выполняться его операции (операции предыдущего шага выполняться перестают).

На самом деле язык SFC намного сложнее, чем описано выше. В частности, допускаются: ветвление, множество активных шагов, вызов дочерних подпрограмм, различные виды операций внутри шагов и многое другое. Но в нашем случае можно ограничиться упрощенным пониманием, согласно которому каждый шаг – это определенное состояние конечного автомата. Поэтому запоминать «номер» состояния не требуется, – программа это делает «сама».

Программа управления на языке LD показана на рис. 24. Здесь информацию о состоянии автомата удобнее сохранять в битовых переменных, чтобы можно было их использовать в виде «контактов». При этом необходимо гарантировать сброс одной битовой переменной при установке другой.

В цепях 1 – 4 представлена логика переходов, в остальных – логика управления выходами (включая управление таймером).

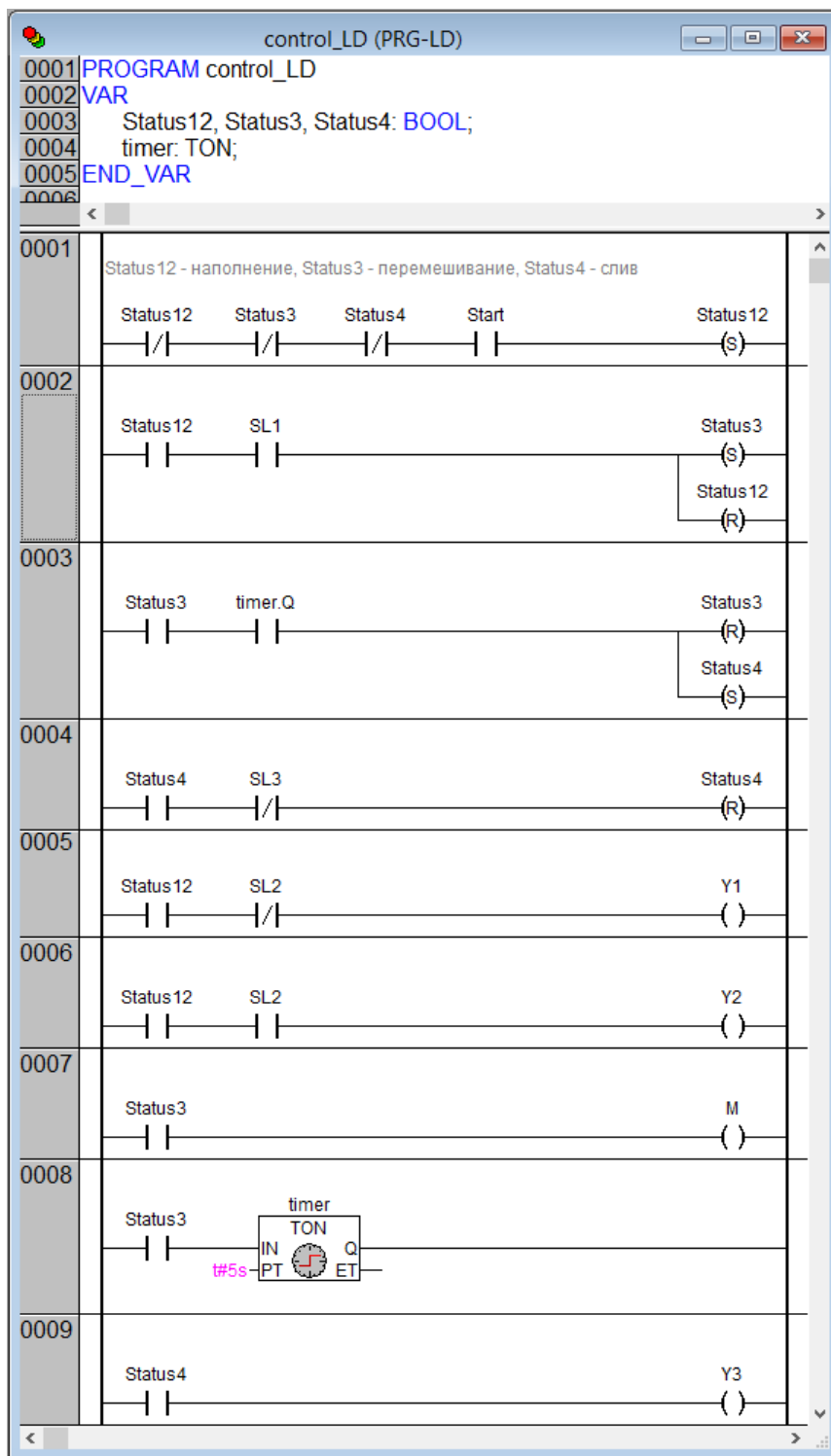


Рис. 24. Программа управления на языке LD

На рис. 25 приведена программа на языке CFC. В этой программе состояние автомата сохраняется в целочисленной переменной и «распознается» блоками сравнения (на равенство) EQ. Выходные сигналы блоков являются «опорными» для формирования как логики управления выходами, так и логики переходов (используется инструкция MOVE).

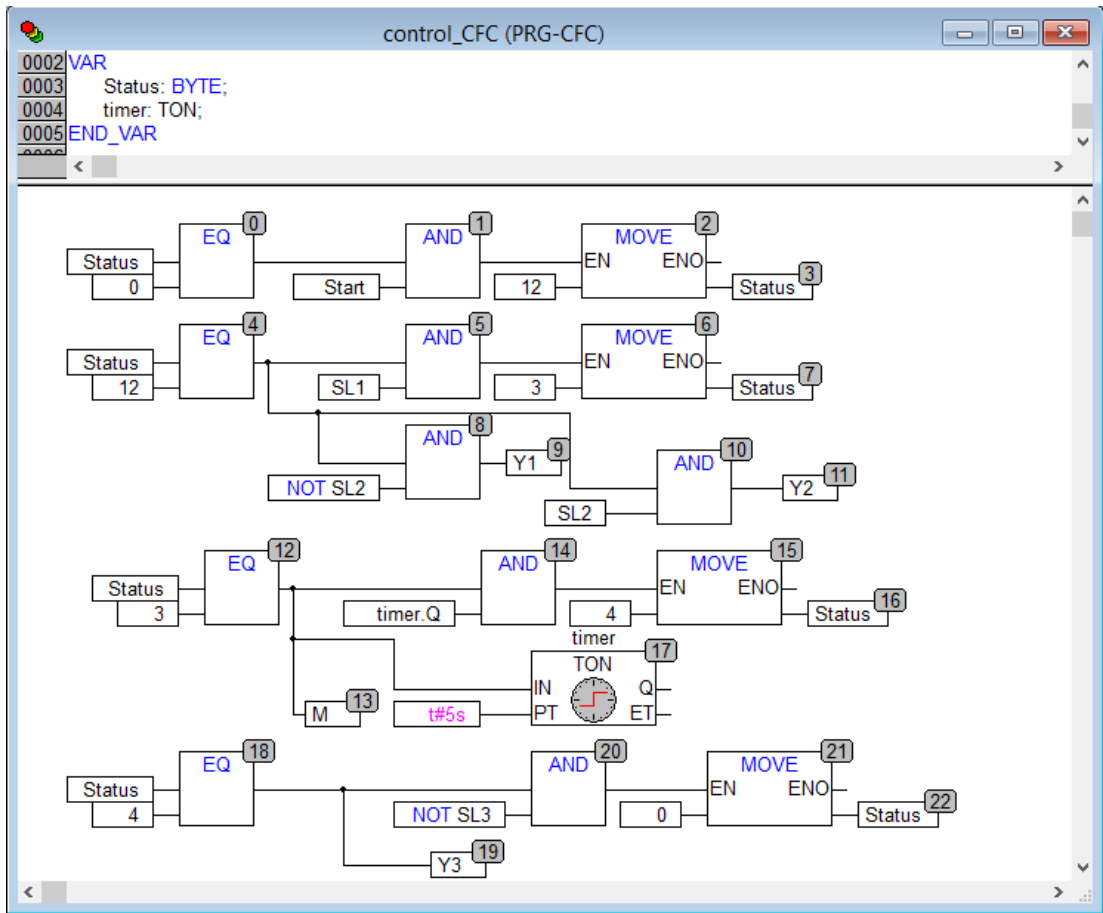


Рис. 25. Программа управления на языке CFC

В заключение отметим, что во всех приведенных программах реализован только «базовый» алгоритм управления, причем в неоптимизированном виде. В [2] приведены решения по реализации дополнительных функций (обнаружение отказов аппаратуры) и оптимизации алгоритма (сведение числа состояний автомата к двум).

#### 1.4 Светофор для пешеходного перехода

В окне визуализации, показанном на рис. 26, размещены схематические изображения светофоров для автомобилей и пешеходов и «пульты управления» для пешеходов (по одному экземпляру).

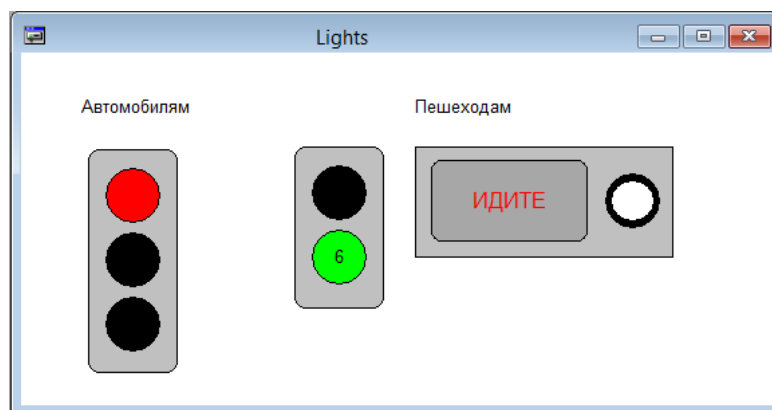


Рис. 26. Окно визуализации в действии

Зеленая лампа светофора для пешеходов ведет обратный отчет времени. На «пульте» располагаются кнопка и табло, выводящее в активном состоянии сообщения «ЖДИТЕ» и «ИДИТЕ».

Список глобальных переменных показан на рис. 27.

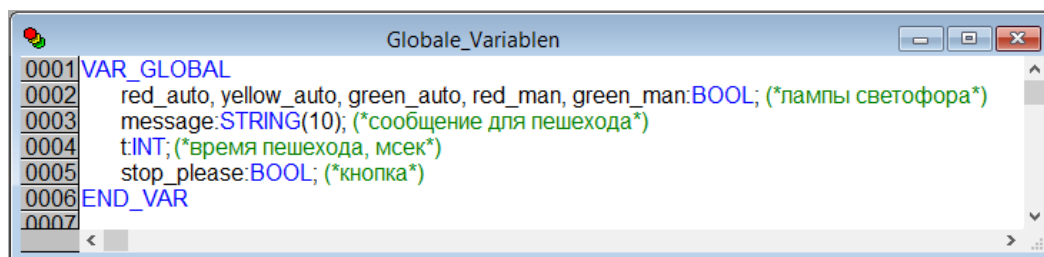


Рис. 27. Список глобальных переменных

Переменная  $t$  отсчитывает время в миллисекундах с момента загорания зеленого сигнала для пешеходов. Элемент визуализации (кружок) ведет обратный отчет в секундах, вычисляя значение выражения, показанного на рис. 28.

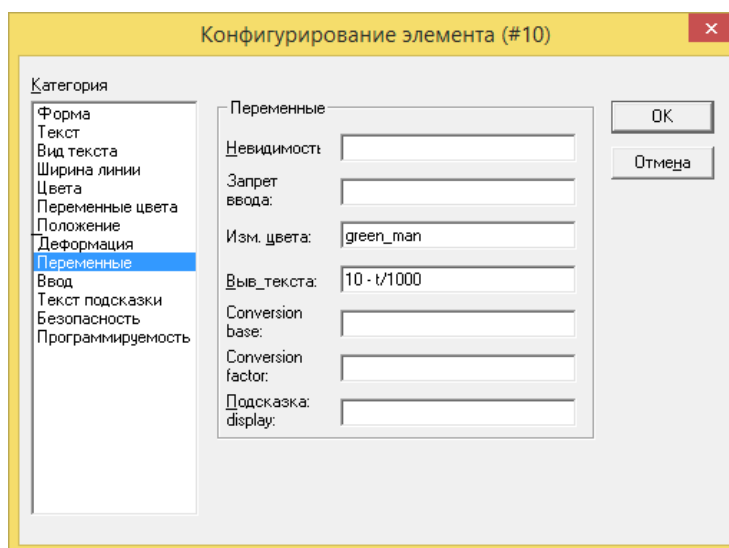


Рис. 28. Настройка элемента визуализации

Система может находиться в двух состояниях, представленных на рис. 29.

В состоянии 1, условно названном «переходом улицы пешеходами», помимо собственно перехода, производятся также необходимые действия, предшествующие ему, и последующие за ним. Длительность этого состояния фиксирована и равна 16 с. Все операции по управлению лампами светофоров и табло происходят строго по времени.

В состоянии 2, названном «движением автомобилей», действительно происходит только движение автомобилей: на светофоре для них горит зеленый свет, а на пешеходном светофоре – красный. Длительность этого состояния – не менее 10 с.

Переход из состояния 1 в состояние 2 происходит «автоматически» по истечению 16 секунд пребывания в состоянии 1. Переход из состояния 2 в

состояние 1 происходит по нажатию пешеходом кнопки, но не ранее 10 секунд пребывания в состоянии 2. Если пешеход нажал кнопку раньше, факт нажатия фиксируется системой (хотя сама кнопка – без фиксации), на табло выводится сообщение «ЖДИТЕ», но сам переход откладывается.

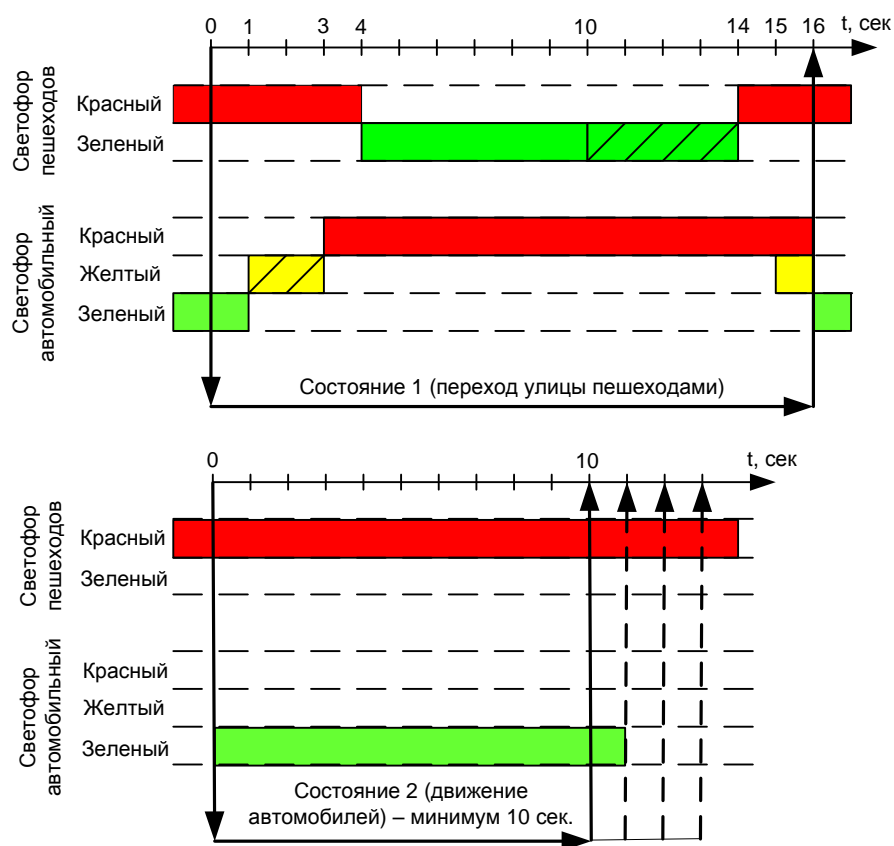


Рис. 29. Диаграммы работы системы

Заштрихованные области диаграмм означают мигание соответствующих ламп светофоров.

Программа управления на языке ST показана на рис. 30.

Поскольку автомат может находиться только в двух состояниях, для запоминания текущего состояния достаточно переменной типа BOOL, в нашем случае – это переменная *man*. Если *man*=TRUE, система находится в состоянии 1, иначе – в состоянии 2. Переменная *wait* фиксирует запрос пешехода на переход улицы. Таймер *timer* является основным средством организации работы по времени в обоих состояниях. В состоянии 1 его «уставка» равна 16 с, в состоянии 2 – 10 с. При переходе из одного состояния в другое таймер сбрасывается. Таймер *mig* используется для формирования мигающих сигналов на соответствующих временных участках диаграммы работы в состоянии 1. Его уставка задает период мигания ламп равным 800 мс, первые 400 мс из которых лампа светится. Для непрерывного контроля времени, отсчитываемого таймерами, задействуются значения на их выходах ET (типа TIME).

Программа управления на языке LD приведена на рис. 31-34.

```

ST_PROG (PRG-ST)
0001 PROGRAM ST_PROG
0002 VAR
0003   man:BOOL:=FALSE; (*режимы*)
0004   wait:BOOL; (*ждите*)
0005   timer,mig:TON; (*таймеры: основной и для мигания*)
0006 END_VAR
0001 IF man THEN
0002   IF stop_please THEN wait:=TRUE; END_IF;
0003   timer(IN:=TRUE, PT:=#16s);
0004   red_auto:= timer.ET>#3s;
0005   mig(IN:=((timer.ET>#1s AND timer.ET<#3s) OR (timer.ET>#10s AND timer.ET<#14s)) AND NOT mig.Q, PT:=#800ms);
0006   yellow_auto:= timer.ET>#15s OR ((timer.ET>#1s AND timer.ET<#3s) AND mig.ET< #400ms);
0007   green_auto:= timer.ET<#1s;
0008   red_man:= timer.ET<#4s OR timer.ET>#14s;
0009   green_man:= (timer.ET>#4s AND timer.ET<#10s) OR (timer.ET>#10s AND timer.ET<#14s AND mig.ET< #400ms);
0010   t:=TIME_TO_INT(timer.ET)-4000;
0011   IF timer.ET>#4s AND timer.ET<#10s THEN message:='ИДИТЕ'; wait:=FALSE;
0012   ELSIF wait THEN message:='ЖДИТЕ';
0013   ELSE message:='';
0014   END_IF
0015   IF timer.Q THEN timer(IN:=FALSE); man:=FALSE;
0016   END_IF
0017 ELSE
0018   IF stop_please THEN wait:=TRUE; END_IF
0019   timer(IN:=TRUE, PT:=#10s);
0020   red_auto:=FALSE; yellow_auto:=FALSE; green_auto:= TRUE;
0021   red_man:=TRUE; green_man:=FALSE;
0022   mig(IN:=FALSE);
0023   IF wait THEN message:='ЖДИТЕ';
0024   ELSE message:='';
0025   END_IF
0026   IF timer.Q AND wait THEN timer(IN:=FALSE); man:=TRUE;
0027   END_IF
0028 END_IF

```

Рис. 30. Программа управления на языке ST

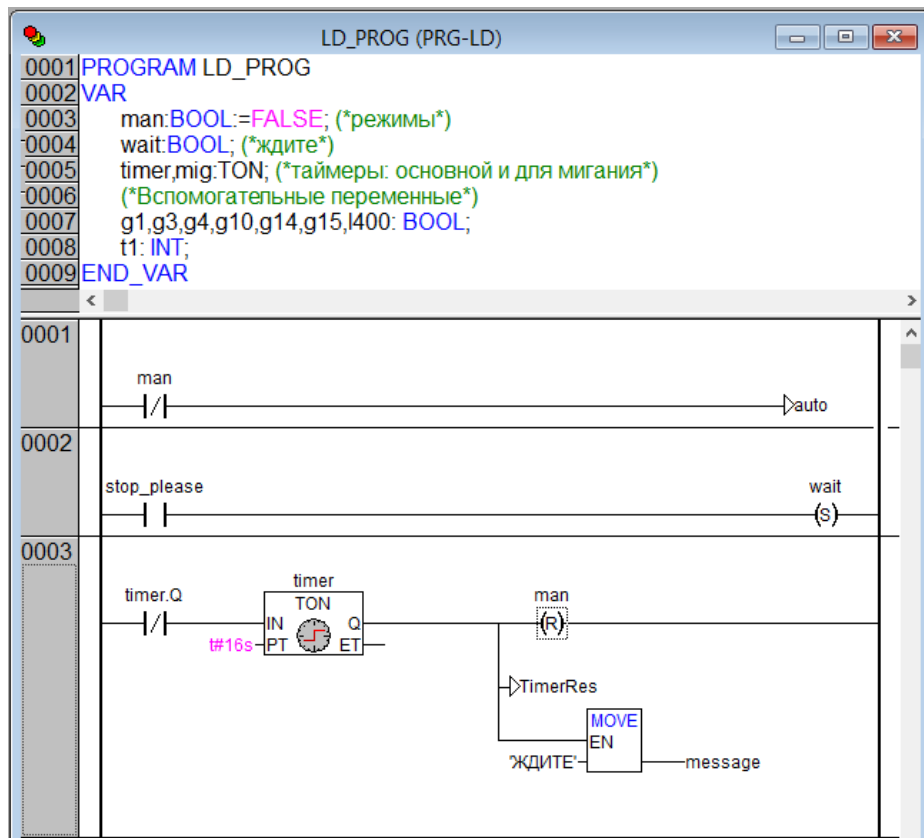


Рис. 31. Программа управления на языке LD, фрагмент 1

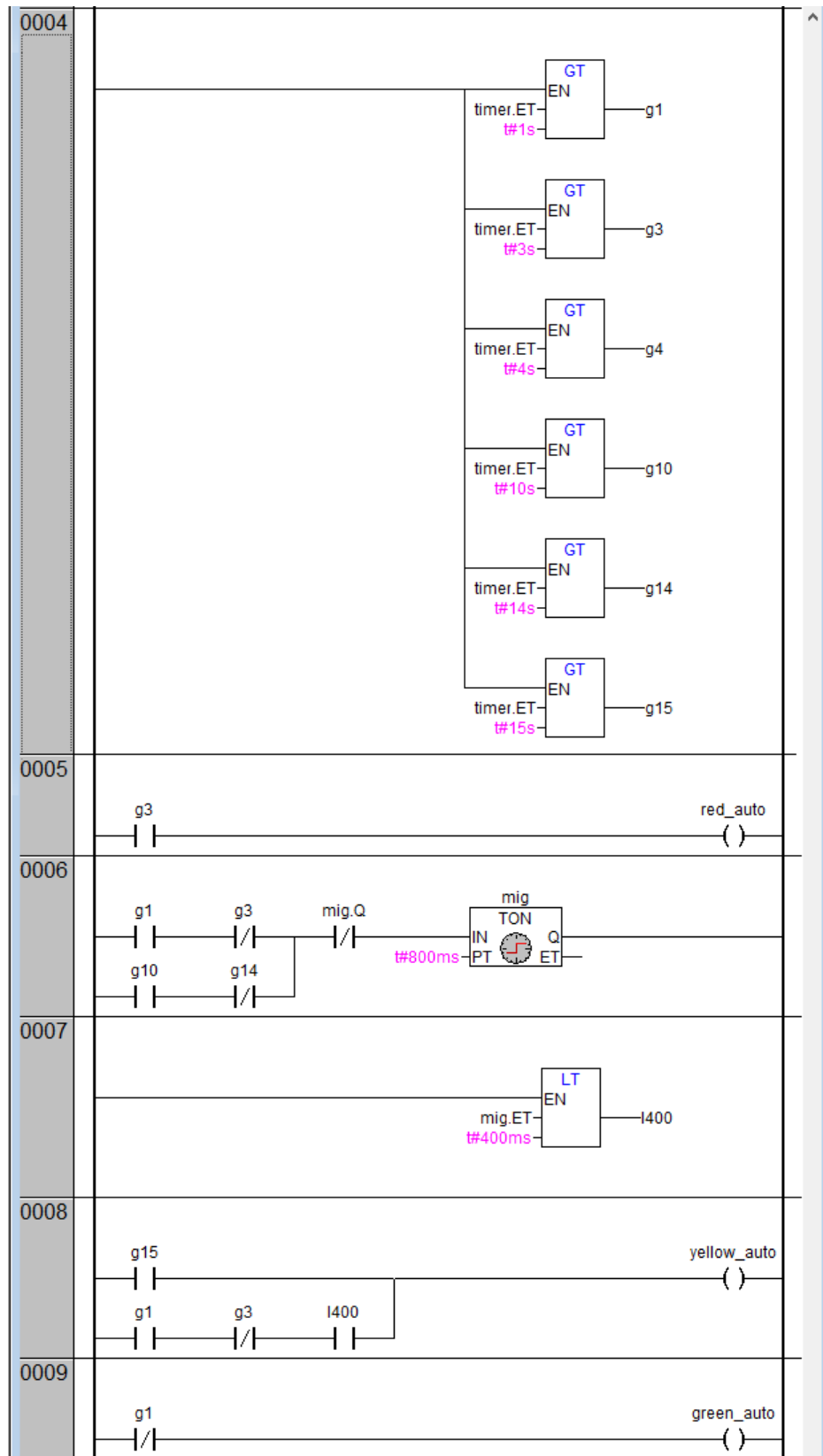


Рис. 32. Программа управления на языке LD, фрагмент 2

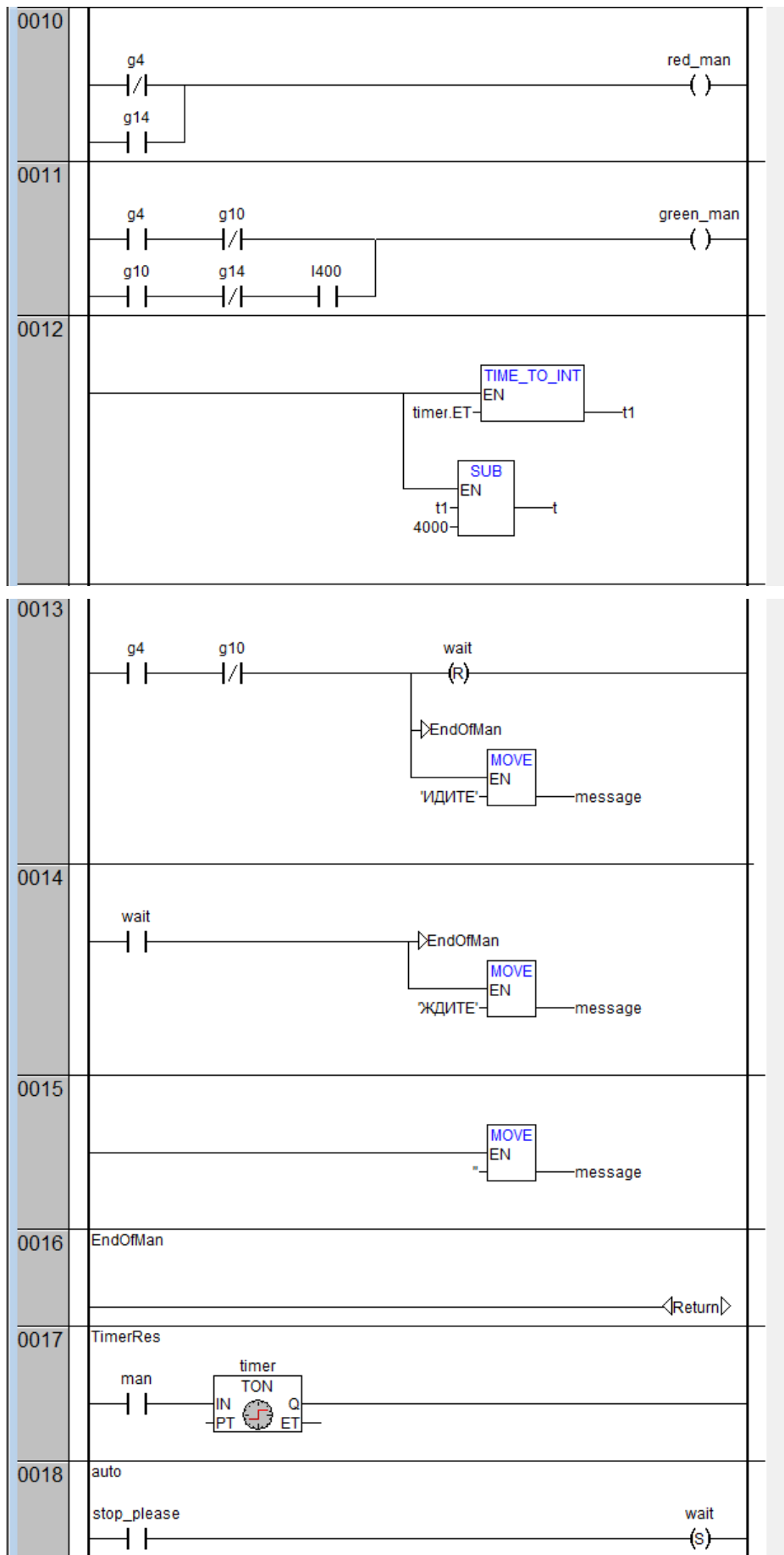


Рис. 33. Программа управления на языке LD, фрагмент 3

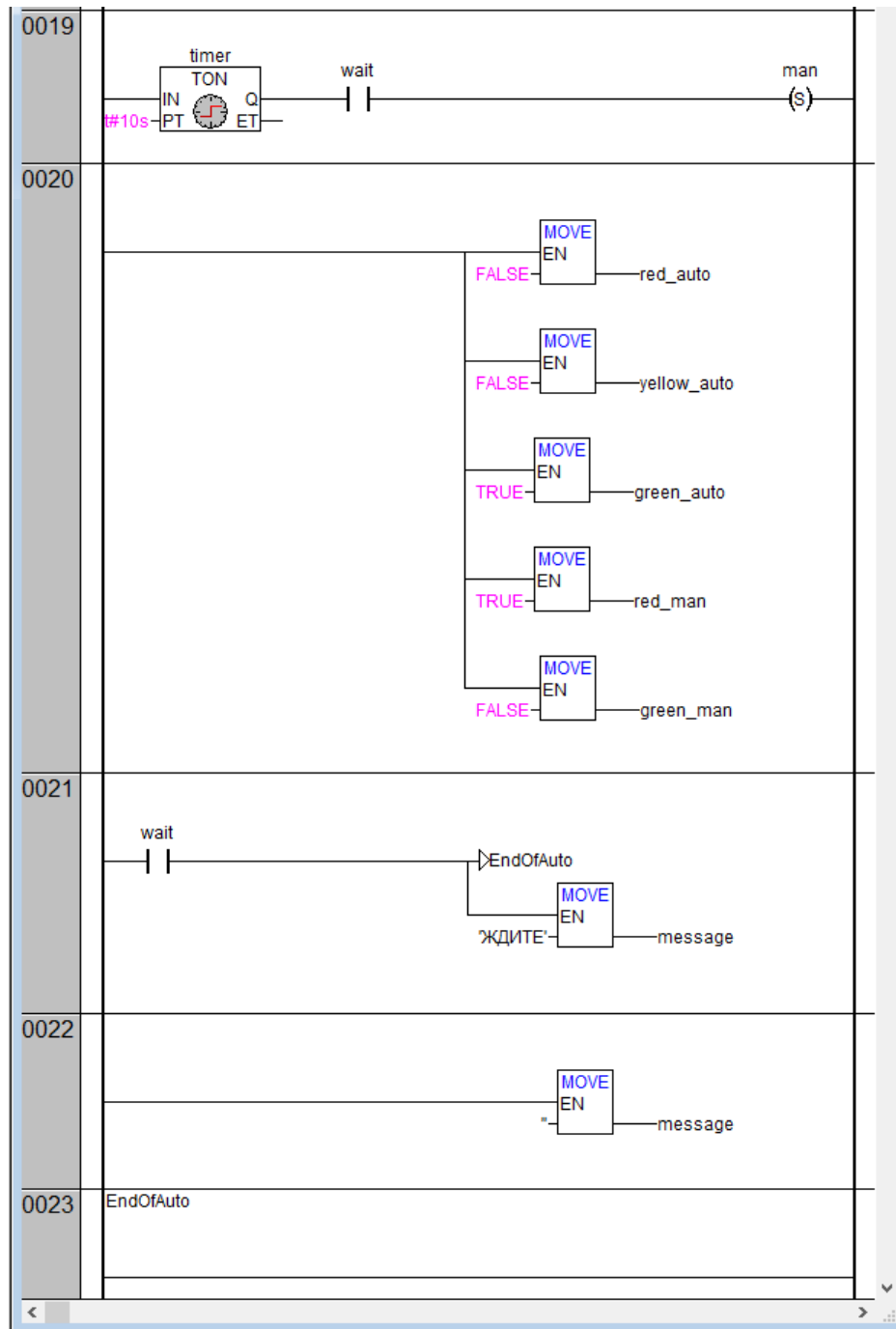


Рис. 34. Программа управления на языке LD, фрагмент 4

Программа в целом построена аналогично рассмотренной выше программе на языке ST, однако некоторые аспекты имеют свою специфику.

Условные операторы реализованы с помощью переходов (на метки) и оператора `Return`, осуществляющего выход из программы. Переходы позволяют исключить из выполнения ненужные в данный момент цепи.

Вся программа состоит из двух больших фрагментов. Цепи 2-16 выполняются в состоянии 1 (`man=TRUE`), цепи 18-23 – в состоянии 2 (`man=FALSE`). В первой цепи производится «выбор» фрагмента. Цепь 17 выполняется только при смене состояния с первого на второе. Управление в нее по-

падает по переходу из цепи 3 при срабатывании таймера. Назначение цепи 17 – сброс таймера `timer` с целью подготовки его к использованию в новом состоянии. Так как на момент перехода переменная `man` сброшена (еще в цепи 3), на вход `IN` таймера подается `FALSE`, что и приводит к его сбросу. После этого управление «своим ходом» попадает в первую цепь второго фрагмента. При смене состояния со второго на первое сброс таймера производится в цепи 3 собственным выходным сигналом `Q`, инверсия которого подается на вход `IN`. Отличия в порядке сброса таймера при различных переходах между состояниями связано со следующим. В состоянии 1 система находится фиксированное время, и выход таймера `Q` всегда равен `FALSE` (за исключением момента смены состояний). В состоянии 2 система может находиться сколь угодно большое время и после срабатывания таймера, поэтому он не может быть «самосбрасываемым».

Операции сравнения (`>`, `<`), которые в ST-программе являются составными частями выражений для управления лампами светофоров и запуска дополнительного таймера, в программе на языке LD реализуются отдельно блоками `GT` (`greater than`) и `LT` (`less than`). Результаты сравнения записываются в «промежуточные» битовые переменные, которые далее используются уже как контакты.

Операция присваивания переменной значения константы реализовано с помощью блока `MOVE`.

## 2 АВТОМАТИЧЕСКОЕ РЕГУЛИРОВАНИЕ

### 2.1 Релейная система регулирования. Программная реализация ШИМ

Структура системы управления в упрощенном виде показана на рис. 35. Система позволяет осуществлять:

- прямое ручное управление нагревательным элементом путем непосредственного включения/отключения;
- квазинепрерывное ручное управление нагревательным элементом посредством широтно-импульсной модуляции с возможностью плавного изменения скважности импульсов (скважность – это отношение ширины импульсов к периоду их следования);
- автоматическое регулирование температуры по релейному двухпозиционному закону.

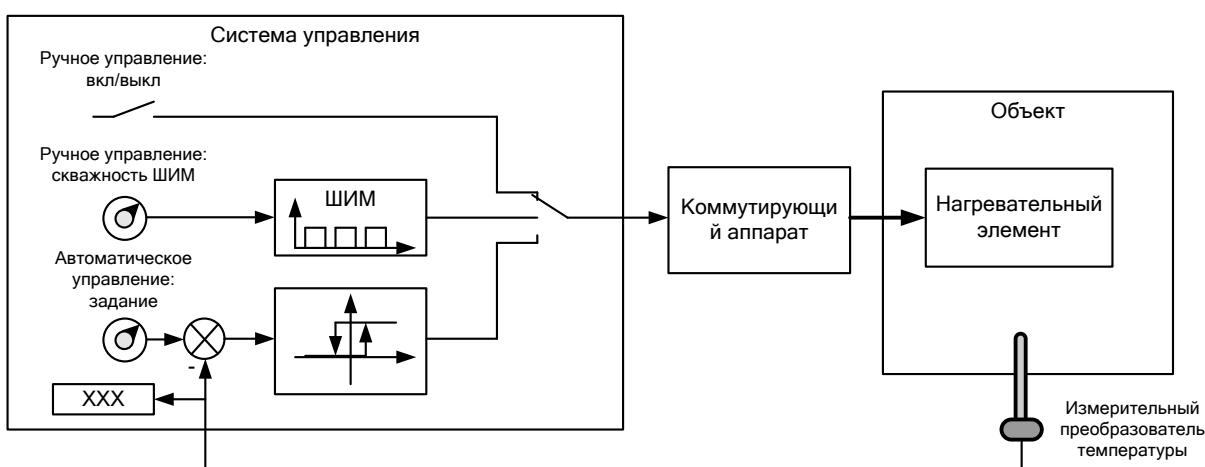


Рис. 35. Структура системы

Панель управления (экран визуализации) в действии показана на рис. 36. Список глобальных переменных приведен на рис. 37.

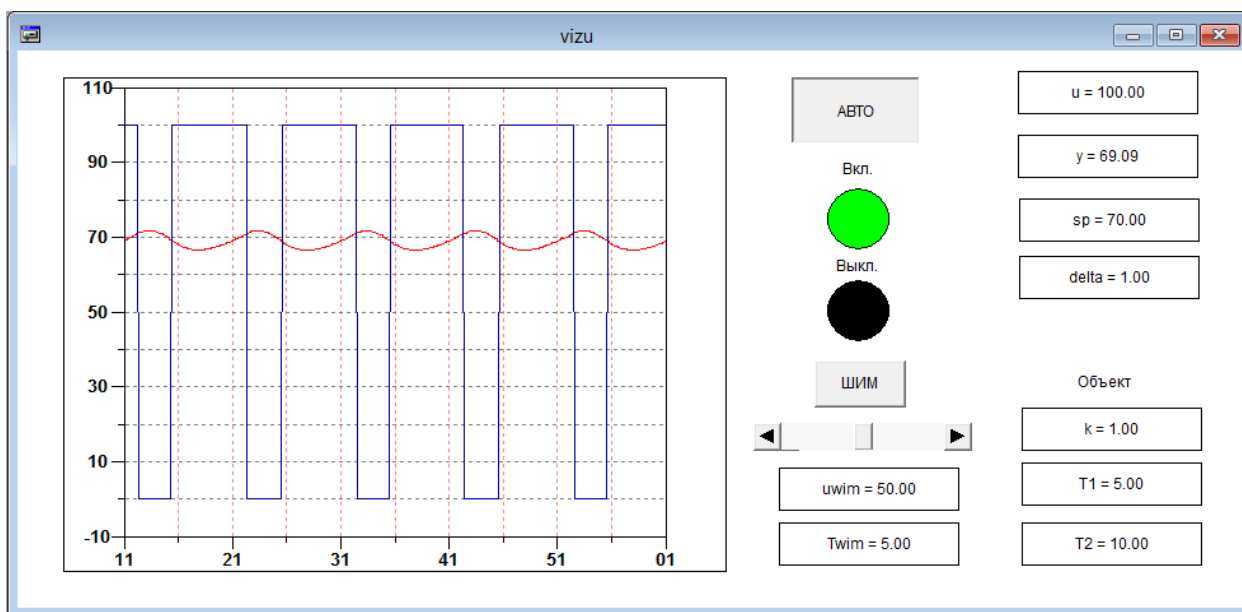


Рис. 36. Панель управления

```

Global_Variables
0001 VAR_GLOBAL
0002 u: REAL; (*управление*)
0003 y,sp: REAL; (*регулируемая величина и уставка регулятора*)
0004 res,auto,start, stop: BOOL; (*сброс модели, кнопки управления панели*)
0005 delta: REAL:=1; (*гистерезис реле*)
0006 wim_en:BOOL:=FALSE; (*кнопка ШИМ*)
0007 uwim: REAL; (*сигнал управления ШИМ*)
0008 Twim: REAL:=10; (*период ШИМ*)
0009 k: REAL:=1; (*коэффициент объекта*)
0010 T1: REAL:=10; (*постоянная времени 1 объекта*)
0011 T2: REAL:=20; (*постоянная времени 2 объекта*)
0012 END_VAR

```

Рис. 37. Глобальные переменные

Объект управления описывается передаточной функцией второго порядка:

$$W_{об}(p) = \frac{k}{T_1 T_2 p^2 + (T_1 + T_2)p + 1} = \frac{k}{T_1 p + 1} \times \frac{1}{T_2 p + 1}.$$

Коэффициент передачи и постоянные времени объекта подлежат настройке в соответствующих элементах визуализации (в учебных целях). Программная модель объекта строится по схеме, показанной на рис. 38.

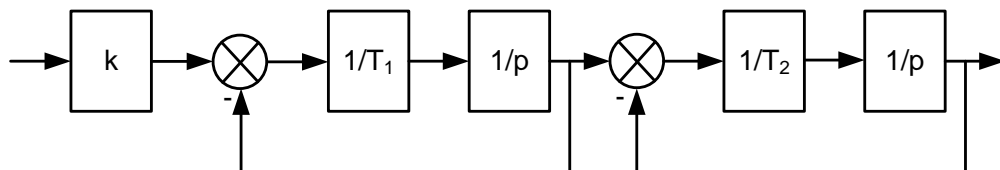


Рис. 38. Структура объекта управления

Модель оформлена в виде программы на языке CFC, рис. 39.

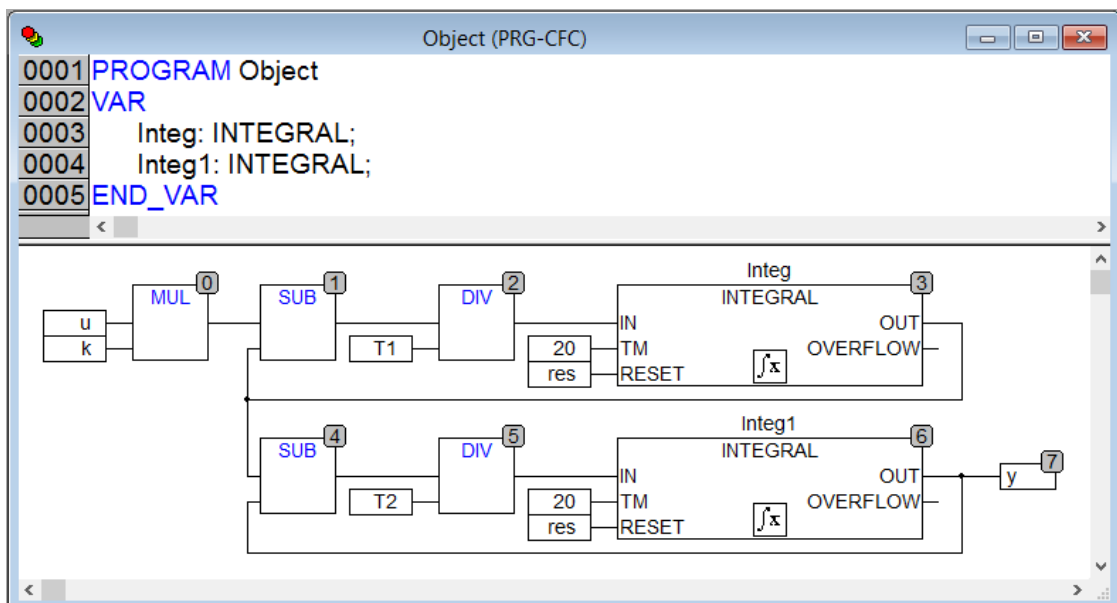


Рис. 39. Программная модель объекта управления

Основными элементами программной модели являются интеграторы – экземпляры библиотечного функционального блока INTEGRAL из библиотеки Util.lib. Эта библиотека должна быть подключена к проекту в Менеджере библиотек. Блок INTEGRAL выполняет простейший алгоритм численного интегрирования по методу трапеций и должен вызываться с определенной периодичностью, заданной на настроечном входе ТМ (в мс). Таким образом, программа Object должна выполняться циклически. Для того чтобы обеспечить циклический вызов, необходимо сконфигурировать задачи, как показано на рис. 40.

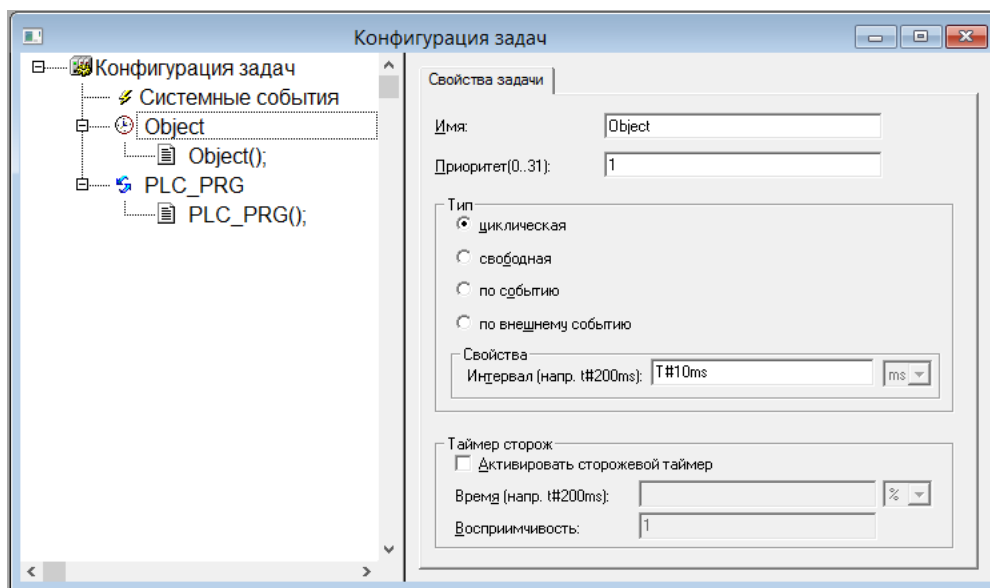


Рис. 40. Конфигурация задач

Программа Object включена в одноименную задачу, с интервалом вызова 10 мс. Как показывают результаты ранее проведенных экспериментов, для виртуального контроллера SP PLCWinNT интервал вызова программы, содержащей интегратор, должен быть вдвое меньше значения на его настроечном входе ТМ. (Интересно, что для реальных контроллеров интервал вызова должен быть строго равен этому значению, как это и должно быть).

Если в проекте присутствует хотя бы одна задача, «головная программа» PLC\_PRG перестает автоматически вызываться, поэтому ее тоже нужно включить в какую-нибудь задачу. В нашем случае это задача PLC\_PRG, вызываемая свободно.

Релейный регулятор и ШИМ-формирователь оформлены как функциональные блоки Reg\_RELE и WIM. Они написаны на языке ST, рис. 41, 42.

На входы Reg\_RELE подаются заданное и фактическое значения регулируемой величины, а также значение порога срабатывания/отпускания реле. Блок реализует функцию двухпозиционного реле с гистерезисом. Уровни выходного сигнала: 0, 100.

На входы WIM подаются заданная скважность (от 0 до 100%) и период следования импульсов.



проекта, кроме объекта управления, который функционирует самостоятельно, как отдельная задача. В программе задействуются локальные экземпляры функциональных блоков Reg\_RELE и WIM, которые вызываются на исполнение в зависимости от режима. В автоматическом режиме управление формирует релейный регулятор. В ручном режиме, если нажата кнопка «ШИМ», управление формируется ШИМ-модулятором. Если кнопка не нажата, пользователь непосредственно включает/выключает «нагреватель», нажимая на круглые кнопки панели управления (см. рис. 36).

```

PLC_PRG (PRG-ST)
0001 PROGRAM PLC_PRG
0002 VAR
0003     Rele:Reg_RELE;
0004     MY_WIM:WIM;
0005 END_VAR
0006
0007
0001 IF auto THEN
0002     Rele(sp:=sp,y:=y,delta:=delta,u=>u);
0003 ELSE
0004     IF wim_en THEN
0005         MY_WIM(uin:=uwim, T:=REAL_TO_TIME(Twim)*1000, u=>u);
0006     ELSE
0007         IF u=0 AND start THEN u :=100; END_IF
0008         IF u=100 AND stop THEN u :=0; END_IF
0009     END_IF
0010 END_IF
0011

```

Рис. 43. Программа PLC\_PRG

## 2.2 Система непрерывного регулирования (ПИ-регулятор)

Панель управления системы в действии показана на рис. 44.

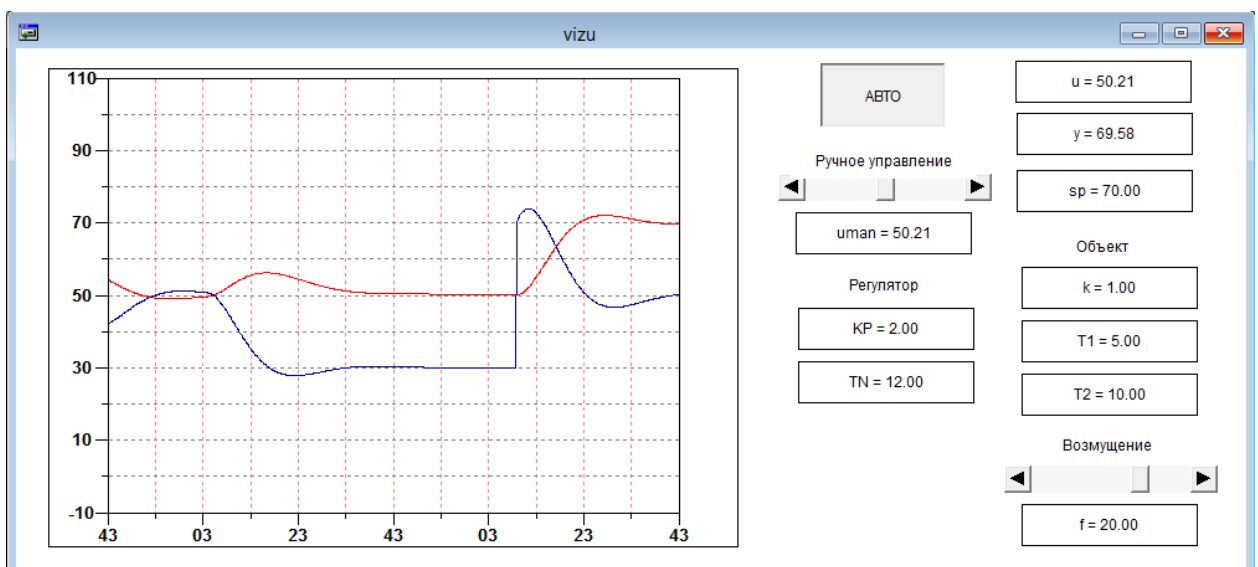


Рис. 44. Панель управления

Список глобальных переменных приведен на рис. 45.

```

Global_Variables
0001 VAR_GLOBAL
0002 u: REAL; (*управление*)
0003 y,sp: REAL; (*регулируемая величина и уставка регулятора*)
0004 res,auto: BOOL; (*сброс и кнопка AUTO*)
0005 uman: REAL; (*сигнал ручного управления*)
0006 f: REAL; (*возмущение*)
0007 k: REAL:=1; (*коэффициент передачи объекта*)
0008 T1: REAL:=10; (*постоянная времени 1 объекта*)
0009 T2: REAL:=20; (*постоянная времени 2 объекта*)
0010 KP: REAL:=2; (*коэффициент передачи ПИ-регулятора*)
0011 TN: REAL:=24; (*постоянная времени интегрирования*)
0012 END_VAR

```

Рис. 45. Панель управления

Объект управления подвергся небольшой модификации: добавлен возмущающий сигнал, приложенный к той же самой точке, что и сигнал управления, рис. 46.

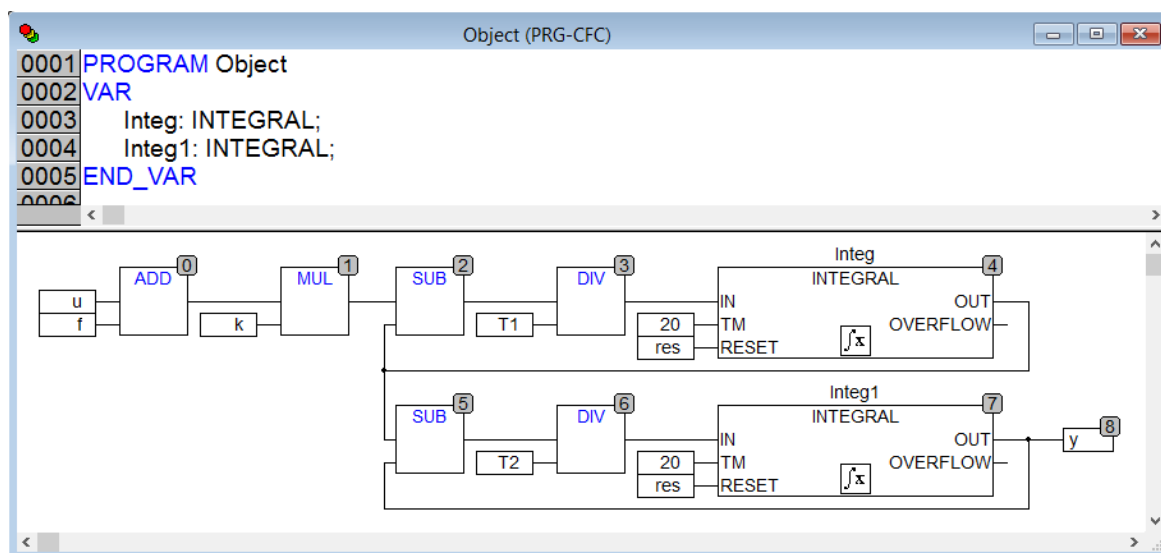


Рис. 46. Модель объекта

Как и в предыдущей работе, программа вызывается циклически, в составе задачи.

Программа непрерывного ПИ-регулирования, рис. 47, использует экземпляр библиотечного функционального блока PID из библиотеки Util.lib. Эта библиотека должна быть подключена к проекту в Менеджере библиотек. ПИ-регулятор получен из ПИД-регулятора путем обнуления постоянной времени дифференцирования TV. Коэффициент передачи и постоянная времени интегрирования подлежат настройке.

Регулятор переводится в режим ручного управления при подаче на его вход MANUAL логической единицы. В режиме ручного управления регулятор транслирует на свой основной выход сигнал с входа Y\_MANUAL. Помимо этого «заряд» интегральной ячейки пересчитывается таким образом, чтобы буду-

щее переключение в автоматический режим происходило *безударно*, т.е. без скачкообразного изменения сигнала управления.

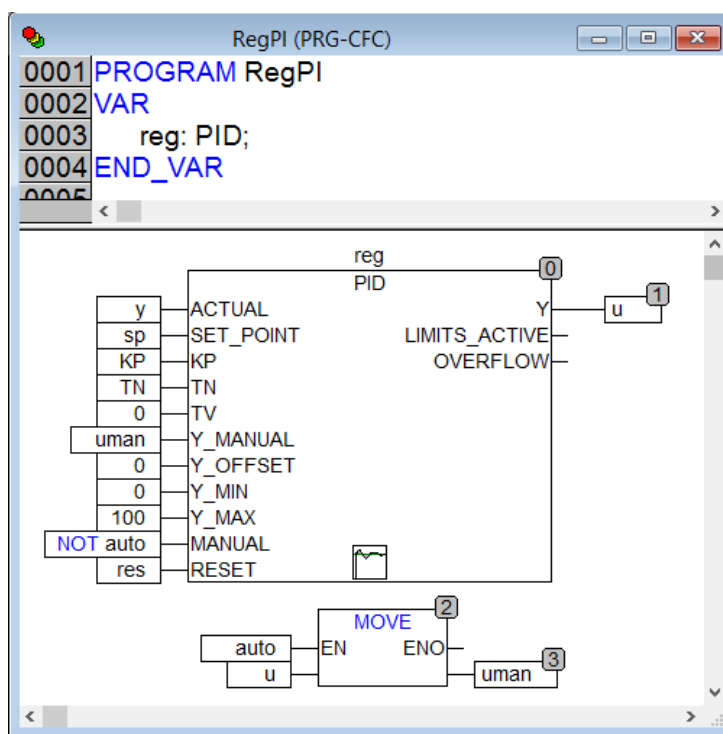


Рис. 47. Программа ПИ-регулирования

Чтобы безударно происходило также переключение на ручное управление, в программу добавлен блок MOVE, в автоматическом режиме «обновляющий» сигнал ручного управления.

Программа PLC\_PRG, являющаяся «частью» свободно выполняемой задачи, в этой системе занимается исключительно вызовом программы RegPI.

### 2.3 Система импульсного регулирования (ПИ-регулятор + ШИМ)

Данная система является комбинацией предыдущей системы с технологией формирования управления по принципу ШИМ-модуляции, рассмотренной в п. 2.1. Непрерывный сигнал, формируемый ПИ-регулятором в автоматическом режиме или пользователем в ручном, подается на вход широтно-импульсного модулятора и превращается в импульсы соответствующей скважности. Такой подход на практике позволяет задействовать дешевую коммутирующую аппаратуру вместо дорогостоящей преобразовательной техники. Однако качество процесса регулирования при этом ухудшается. Для повышения качества требуется увеличение частоты модуляции, что, в свою очередь, влечет за собой ужесточение требований к коммутирующей аппаратуре.

На рис. 48 показана панель управления в работе. Список глобальных переменных, рис. 49, дополнен переменными, отвечающими за работу ШИМ.

В данном проекте используются программа RegPI и функциональный блок WIM, разработанные ранее. Они могут быть перенесены из предыдущих проектов процедурами «Экспорт» и «Импорт» (меню «Проект»).

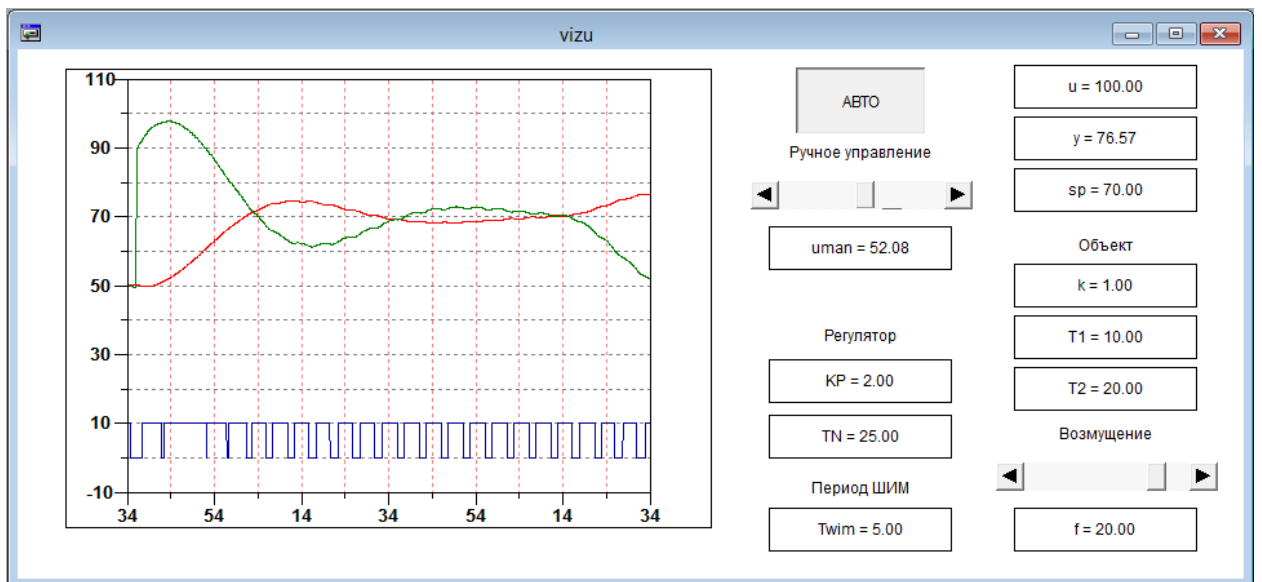


Рис. 48. Панель управления

```

Global_Variables
0001 VAR_GLOBAL
0002   u: REAL; (*управление*)
0003   y,sp: REAL; (*регулируемая величина и уставка регулятора*)
0004   res,auto: BOOL; (*сброс и кнопка АУТО*)
0005   uman: REAL; (*непрерывный сигнал ручного управления*)
0006   uwim: REAL; (*непрерывный сигнал - выход ПИ-регулятора*)
0007   f: REAL; (*возмущение*)
0008   k: REAL:=1; (*коэффициент передачи объекта*)
0009   T1: REAL:=10; (*постоянная времени 1 объекта*)
0010   T2: REAL:=20; (*постоянная времени 2 объекта*)
0011   KP: REAL:=2; (*коэффициент передачи ПИ-регулятора*)
0012   TN: REAL:=24; (*постоянная времени интегрирования*)
0013   Twim: REAL:=10; (*период ШИМ*)
0014 END_VAR

```

Рис. 49. Глобальные переменные

Программа регулирования (см. рис. 47) требует единственной модификации. Выходной сигнал регулятора должен быть теперь записан в переменную `uwim`. Функциональный блок `WIM` никаких изменений не требует.

В `PLC_PRG` объявляется экземпляр функционального блока `WIM`. Он вызывается на исполнение после вызова программы `RegPI`, рис. 50.

```

PLC_PRG (PRG-ST)
0001 PROGRAM PLC_PRG
0002 VAR
0003   MY_WIM:WIM;
0004 END_VAR
0005
0001 RegPI;
0002 MY_WIM(uin:=uwim, T:=REAL_TO_TIME(Twim)*1000, u=>u);
0003

```

Рис. 50. Программа `PLC_PRG`

## 2.4 Система непрерывного регулирования (ПИ-регулятор) с компенсацией возмущений

Довольно часто основное возмущение, действующее на объект, может быть измерено. Тогда разумно завести сигнал по возмущению в систему управления и задействовать в формировании управляющего воздействия. Для этого требуется знать динамику канала «возмущение – выход». Однако даже если соответствующее описание не может быть получено аналитически, его всегда можно определить экспериментально, поскольку возмущение измеряется. В данной работе предполагается, что известны передаточные функции обоих каналов объекта: по управлению и возмущению. Тогда уравнение, описывающее объект имеет вид:

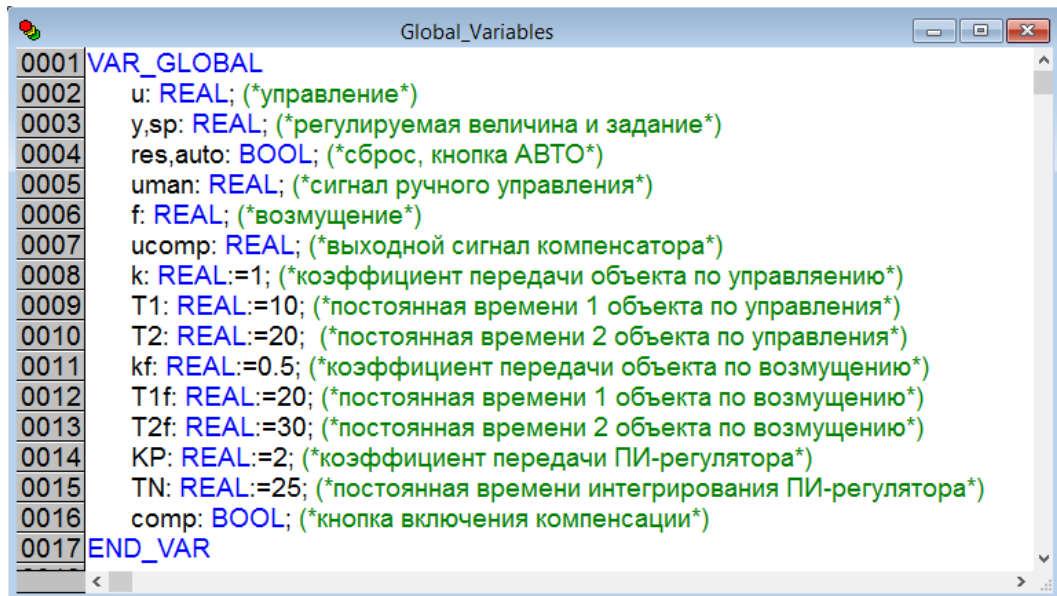
$$y = W_{ou}(p) \times u + W_{of}(p) \times f.$$

где  $W_{ou}(p)$  и  $W_{of}(p)$  – передаточные функции объекта по управлению и возмущению. В работе они приняты в следующем виде:

$$W_{ou}(p) = \frac{k}{T_1 p + 1} \times \frac{1}{T_2 p + 1},$$
$$W_{of}(p) = \frac{k_f}{T_{1f} p + 1} \times \frac{1}{T_{2f} p + 1}.$$

Таким образом, передаточная функция объекта по возмущению имеет ту же структуру, что и передаточная функция по управлению.

На рис. 51 приведен список глобальных переменных проекта.



```
0001 VAR_GLOBAL
0002   u: REAL; (*управление*)
0003   y,sp: REAL; (*регулируемая величина и задание*)
0004   res,auto: BOOL; (*сброс, кнопка АВТО*)
0005   uman: REAL; (*сигнал ручного управления*)
0006   f: REAL; (*возмущение*)
0007   ucomp: REAL; (*выходной сигнал компенсатора*)
0008   k: REAL:=1; (*коэффициент передачи объекта по управлению*)
0009   T1: REAL:=10; (*постоянная времени 1 объекта по управлению*)
0010   T2: REAL:=20; (*постоянная времени 2 объекта по управлению*)
0011   kf: REAL:=0.5; (*коэффициент передачи объекта по возмущению*)
0012   T1f: REAL:=20; (*постоянная времени 1 объекта по возмущению*)
0013   T2f: REAL:=30; (*постоянная времени 2 объекта по возмущению*)
0014   KP: REAL:=2; (*коэффициент передачи ПИ-регулятора*)
0015   TN: REAL:=25; (*постоянная времени интегрирования ПИ-регулятора*)
0016   comp: BOOL; (*кнопка включения компенсации*)
0017 END_VAR
```

Рис. 51. Глобальные переменные проекта

На рис. 52 показана программная модель объекта управления.

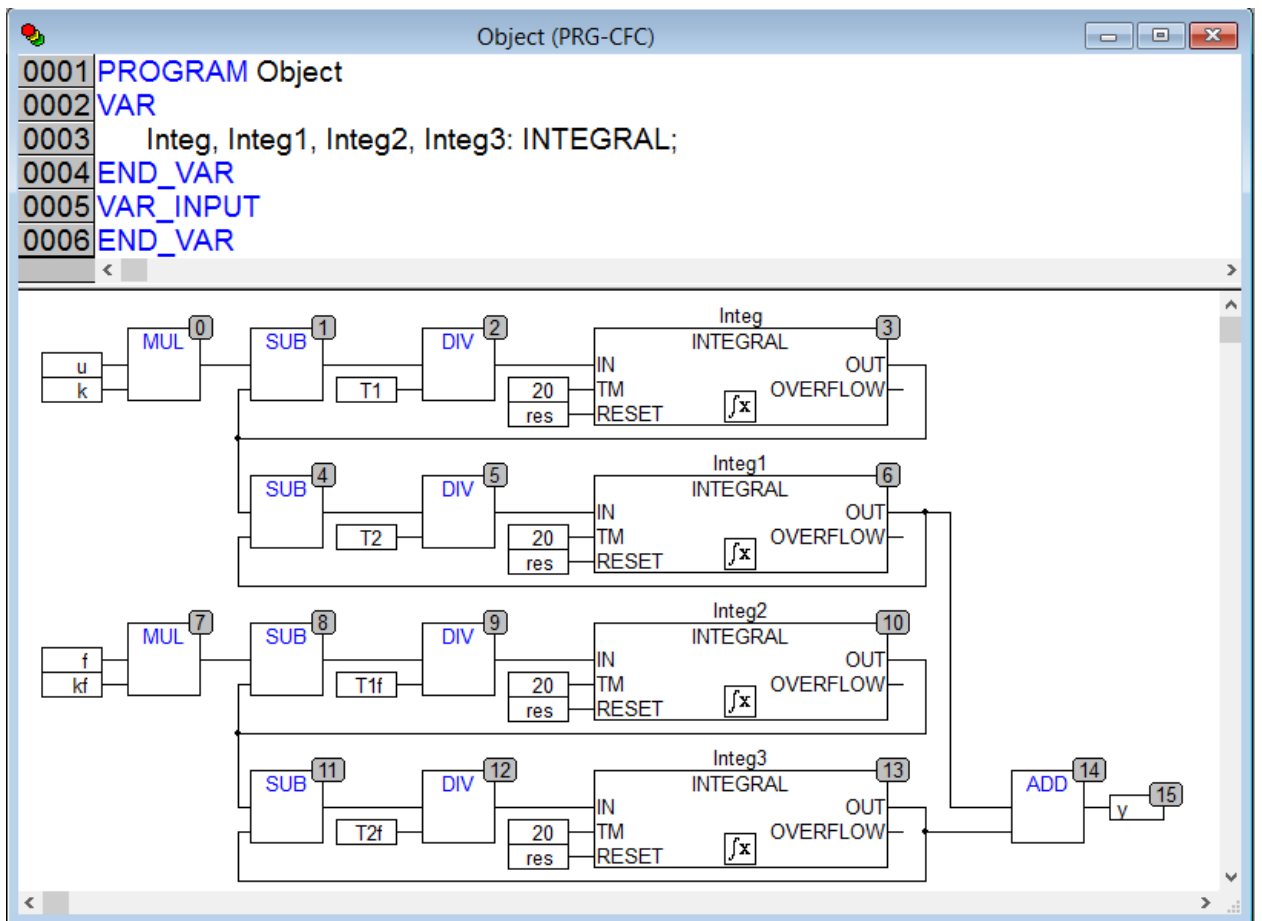


Рис. 52. Программная модель объекта управления

53. Сущность процесса компенсации возмущения демонстрируется на рис.

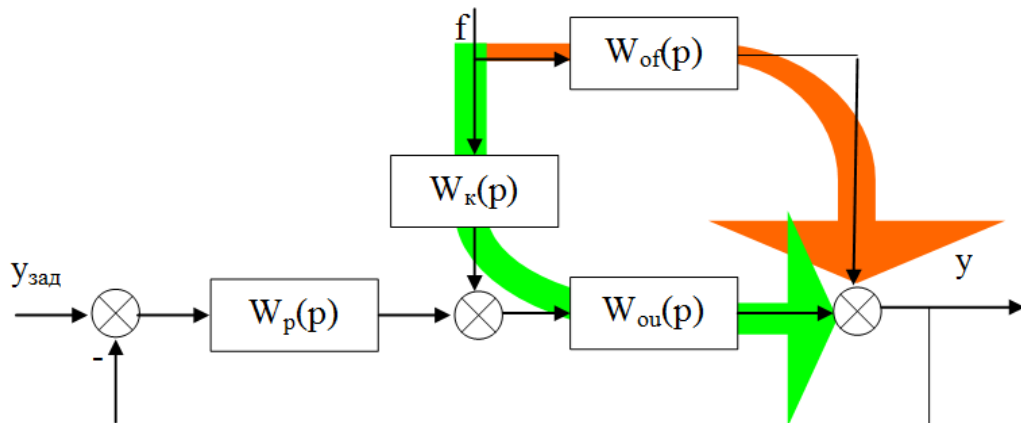


Рис. 53. Компенсация возмущения

В систему вводится дополнительное звено (компенсатор возмущения) с передаточной функцией  $W_k(p)$ , выбираемой таким образом, чтобы сигналы, показанные на рис. 53 большими стрелками, компенсировали друг друга:

$$f \times W_{of}(p) + f \times W_k(p)W_{ou}(p) = 0,$$

откуда

$$W_k(p) = -\frac{W_{of}(p)}{W_{ou}(p)}$$

В нашем случае передаточная функция компенсатора принимает вид:

$$W_k(p) = -\frac{k_f}{k} \frac{T_1 p + 1}{T_{1f} p + 1} \times \frac{T_2 p + 1}{T_{2f} p + 1}$$

Структура компенсатора показана на рис. 54.

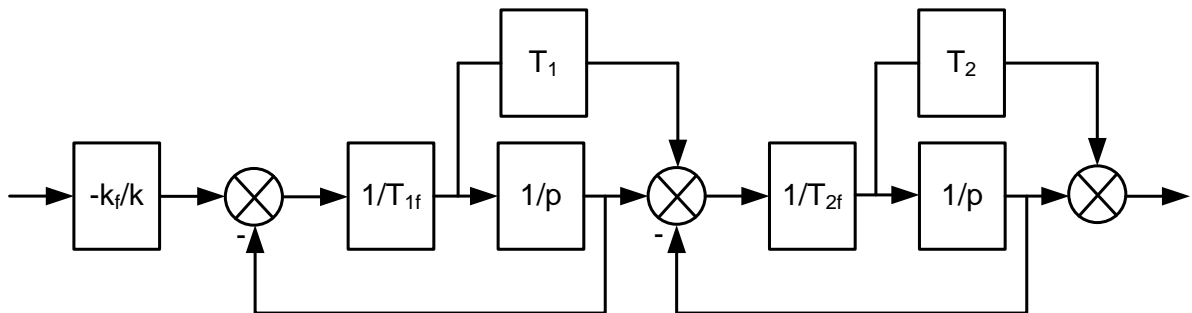


Рис. 54. Структурная схема компенсатора

Программная реализация компенсатора, приведенная на рис. 55, практически полностью воспроизводит эту структуру. Отсутствует только инверсия сигнала (она реализована в PLC\_PRG).

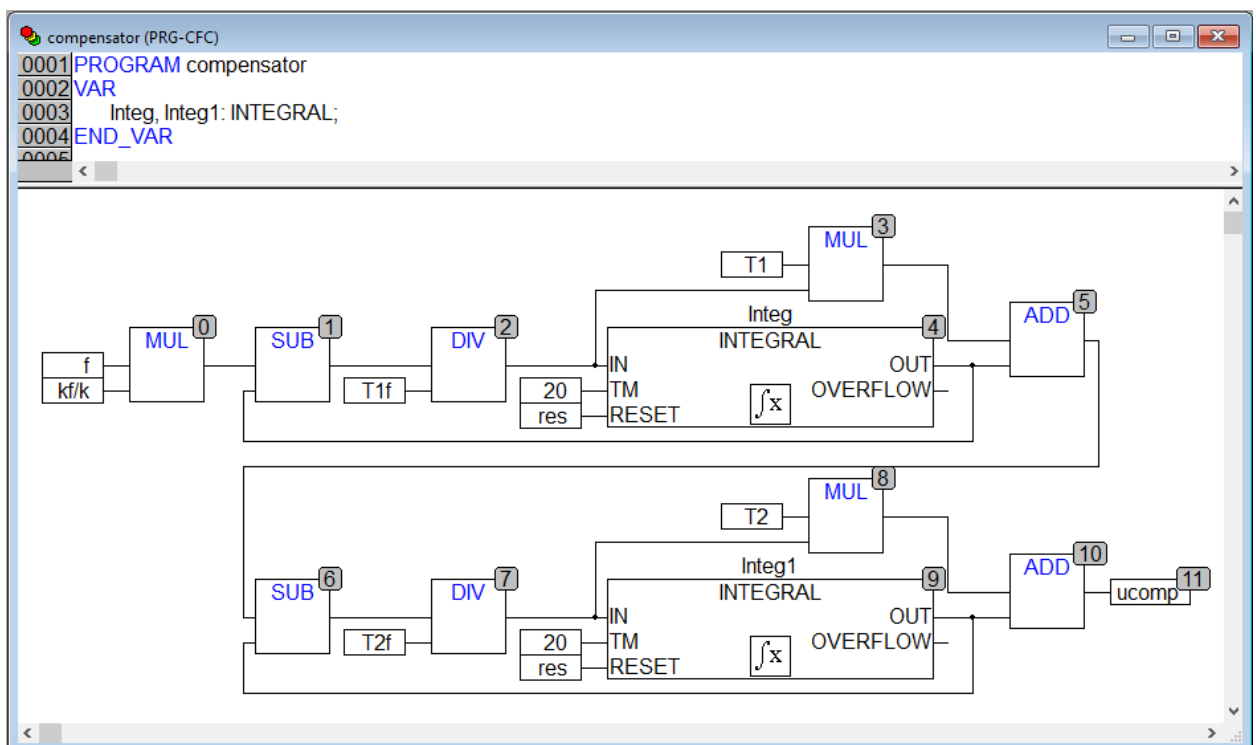


Рис. 55. Программная реализация компенсатора

Программы Object и compensator должны вызываться в рамках циклически выполняемой задачи, см. п. 2.1.

Кроме компенсатора система включает основной ПИ-регулятор, реализованный в виде отдельной программы RegPI, см. п. 2.2, рис. 47.

Панель управления показана на рис. 56.

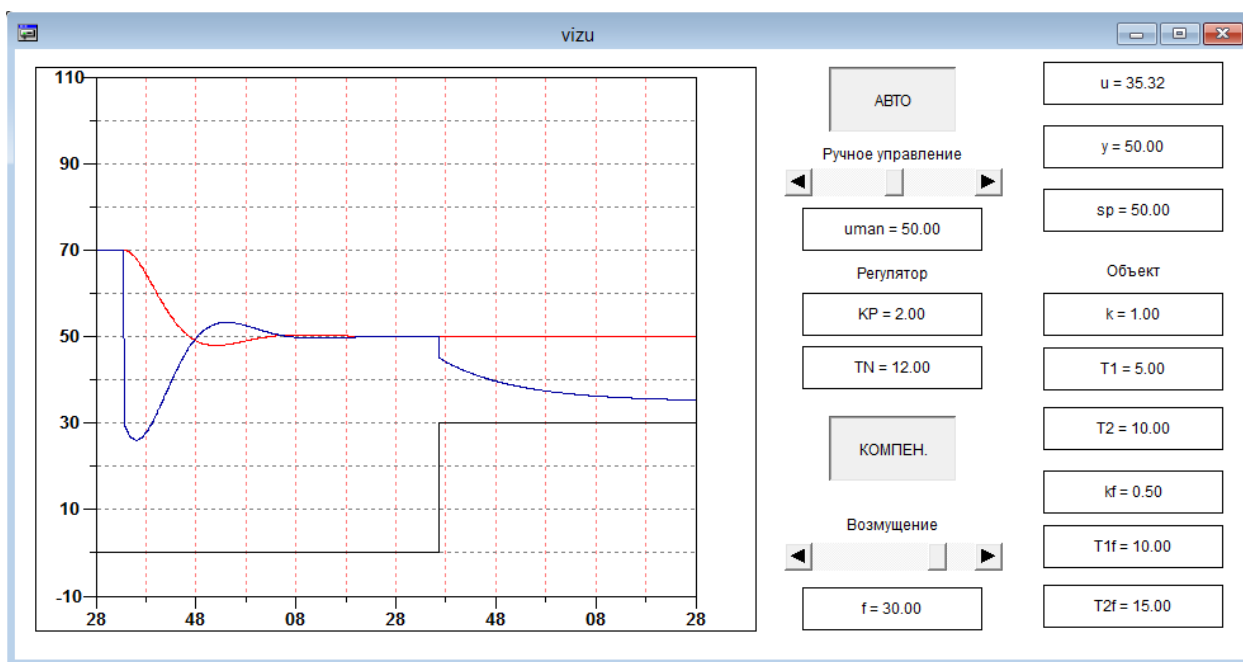


Рис. 56. Панель управления

В программе PLC\_PRG вызывается ПИ-регулятор, и далее, если включена компенсация возмущения, из его выходного сигнала вычитается сигнал компенсатора, рис. 57.

```
PLC_PRG (PRG-ST)
0001 PROGRAM PLC_PRG
0002 VAR
0003 END_VAR
0004
0001 RegPI;
0002 IF comp THEN
0003   u:=u-ucomp;
0004 END_IF
```

Рис. 57. Программа PLC\_PRG

## 2.5 Система непрерывного регулирования (ПИ-регулятор) с исполнительным механизмом постоянной скорости

На практике в большинстве систем автоматического регулирования воздействие на объект управления осуществляется путем изменения подачи среды (например, теплоносителя) с помощью регулирующей арматуры (клапана, задвижки и т.д.). В большинстве случаев регулирующая арматура приводится в движение нерегулируемым электроприводом (электроприводом постоянной скорости). Как элемент системы такой привод управляется командами «включить на открытие», «включить на закрытие», «выключить». С

другой стороны, привод информирует систему управления о своем состоянии («открыт», «закрыт») и текущем положении. Состояния фиксируются концевыми выключателями, а положение измеряется измерительным преобразователем.

Структура системы, рассмотренной ниже, показана на рис. 58.

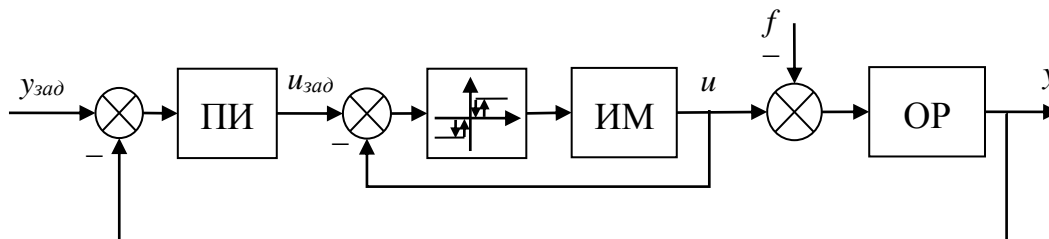


Рис. 58. Структура системы

Назначение внутреннего контура – воспроизведение исполнительным механизмом сигнала, формируемого ПИ-регулятором, в виде заданного перемещения рабочего органа регулирующей арматуры. (Предполагается, что «процент» открытия арматуры в точности равен «проценту» непрерывного управляющего сигнала, что в общем случае не так). Включение/отключение исполнительного механизма ИМ осуществляет трехпозиционный релейный регулятор. Точность воспроизведения задания определяется величиной зоны нечувствительности реле.

Список глобальных переменных приведен на рис. 59.

```

Global_Variables
0001 VAR_GLOBAL
0002 u: REAL; (*выход регулятора 0..100%*)
0003 y,sp: REAL; (*регулируемая величина и уставка регулятора*)
0004 res,auto: BOOL; (*сброс, автоматическое регулирование*)
0005 uman: REAL; (*сигнал ручного управления 0..100%*)
0006 open, close: BOOL; (*сигналы управления рег. клапаном*)
0007 full_time: REAL:=20; (*время полного хода ИМ, сек*)
0008 opened, closed: BOOL; (*сигналы концевых выключателей ИМ*)
0009 position: REAL; (*положение ИМ 0..100%*)
0010 KP: REAL:=2; (*коэффициент ПИ-регулятора*)
0011 TN: REAL:=25; (*постоянная времени интегрирования ПИ-регулятора*)
0012 delta: REAL:=0.4; (*зона нечувствительности релейного регулятора положения ИМ*)
0013 mintime: REAL:=100; (*минимальное время включения ИМ, мс*)
0014 otladka, open_BT close_BT: BOOL; (*кнопки*)
0015 k: REAL:=1; (*коэффициент передачи объекта*)
0016 T1: REAL:=10; (*постоянная времени 1 объекта*)
0017 T2: REAL:=20; (*постоянная времени 2 объекта*)
0018 f: REAL; (*возмущение*)
0019 END_VAR

```

Рис. 59. Глобальные переменные

На рис. 60 показано основное окно визуализации. Система может находиться в трех состояниях:

- автоматическое управление (по схеме рис. 58);

- ручное управление, когда заданное положение исполнительного механизма задается вручную, а регулятор внутреннего контура его обрабатывает. ПИ-регулятор при этом не работает;
- отладка: прямое управление приводом, регуляторы не работают.

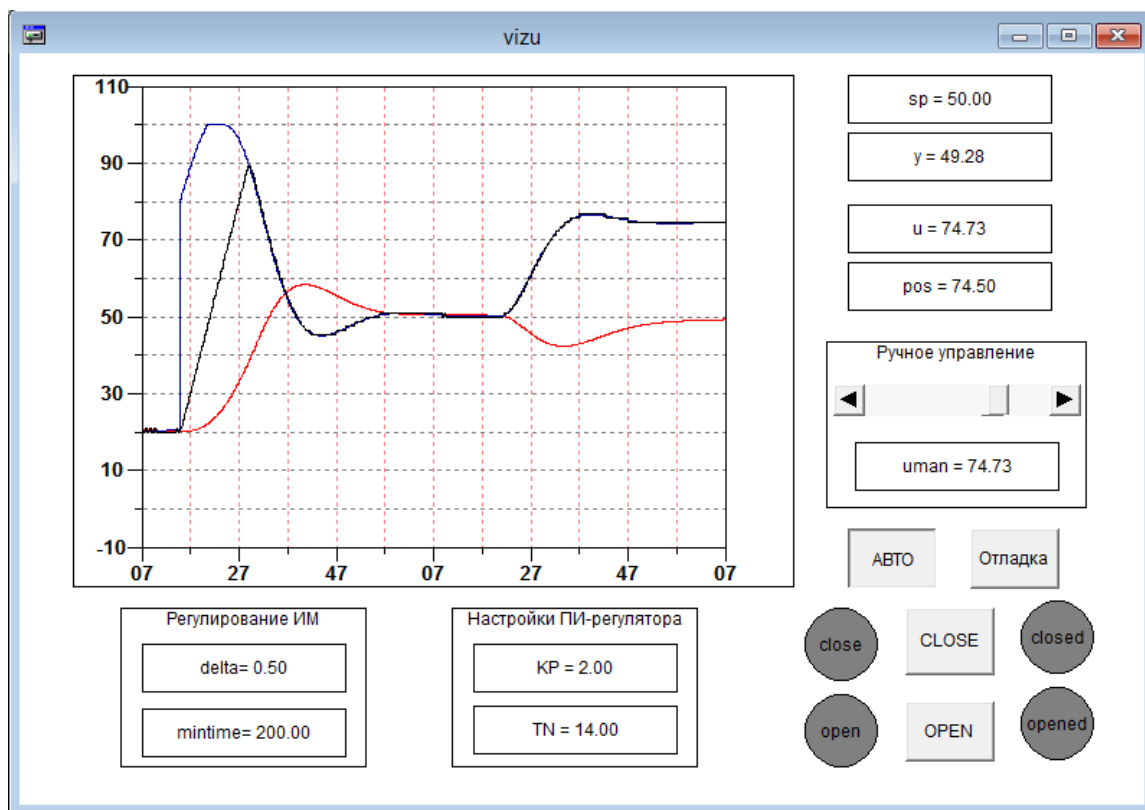


Рис. 60. Панель управления

В отличие от предыдущих систем «настройка» объекта и формирование возмущения вынесены в отдельное окно, показанное на рис. 61. Таким образом, основное окно максимально «приближено к реальности».

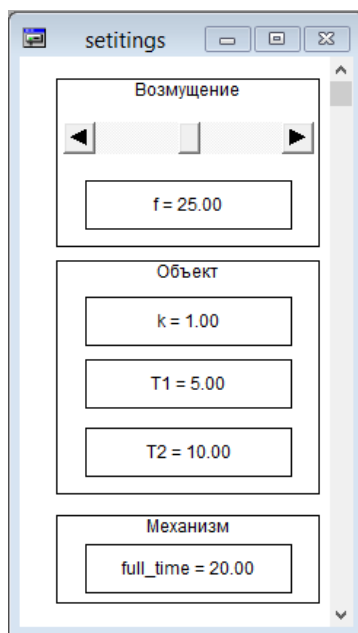


Рис. 61. Окно ввода параметров объекта

Программная модель исполнительного механизма оформлена в виде функционального блока, рис. 62. Входы блока: команды на открытие и закрытие и настроечный – время полного хода механизма. Выходы: дискретные сигналы концевых выключателей и «аналоговый» сигнал о положении механизма.

```

0001 FUNCTION_BLOCK IM
0002 VAR_INPUT
0003     open,close:BOOL;
0004     full_time:REAL;
0005 END_VAR
0006 VAR_OUTPUT
0007     opened,closed:BOOL;
0008     position:REAL:=0;
0009 END_VAR
0010 VAR
0011     integ: INTEGRAL;
0012     speed: REAL;
0013 END_VAR
0001 IF position < 0.5 THEN closed:=TRUE; opened:=FALSE;
0002     IF open THEN speed:=100/full_time; ELSE speed:=0; END_IF
0003 ELSIF position > 99.5 THEN closed:=FALSE; opened:=TRUE;
0004     IF close THEN speed:=-100/full_time; ELSE speed:=0; END_IF
0005 ELSE closed:=FALSE; opened:=FALSE;
0006     IF close THEN speed:=-100/full_time;
0007     ELSIF open THEN speed:=100/full_time;
0008     ELSE speed:=0;
0009     END_IF
0010 END_IF
0011 integ(IN:=speed,TM:=20, RESET:=FALSE, OUT=>position);

```

Рис. 62. Программная модель исполнительного механизма

Концевые выключатели «срабатывают», если положение меньше 0,5% или больше 99,5% полного хода. Скорость движения привода (локальная переменная *speed*) рассчитывается через время полного хода по результатам анализа состояния привода и поступающих команд. Полученное значение подается на вход интегратора *integ*, который рассчитывает положение механизма.

Программная модель объекта управления включает экземпляр функционального блока *IM* и собственно модель объекта по каналу управление – выход, рис. 63. Канал по возмущению вновь не детализирован, но само возмущение имеется и приложено к той же точке, что и управляющий сигнал. Программа *Object* вызывается в рамках циклически выполняемой задачи.

Релейный регулятор положения исполнительного механизма представлен функциональным блоком *RegIM*, рис. 64. На вход блока подаются непрерывный сигнал управления и настроечные сигналы: величина зоны нечувствительности реле и минимальное время включения/отключения привода.

Блок формирует дискретные сигналы на включение привода в направлении открытия и закрытия регулирующей арматуры.

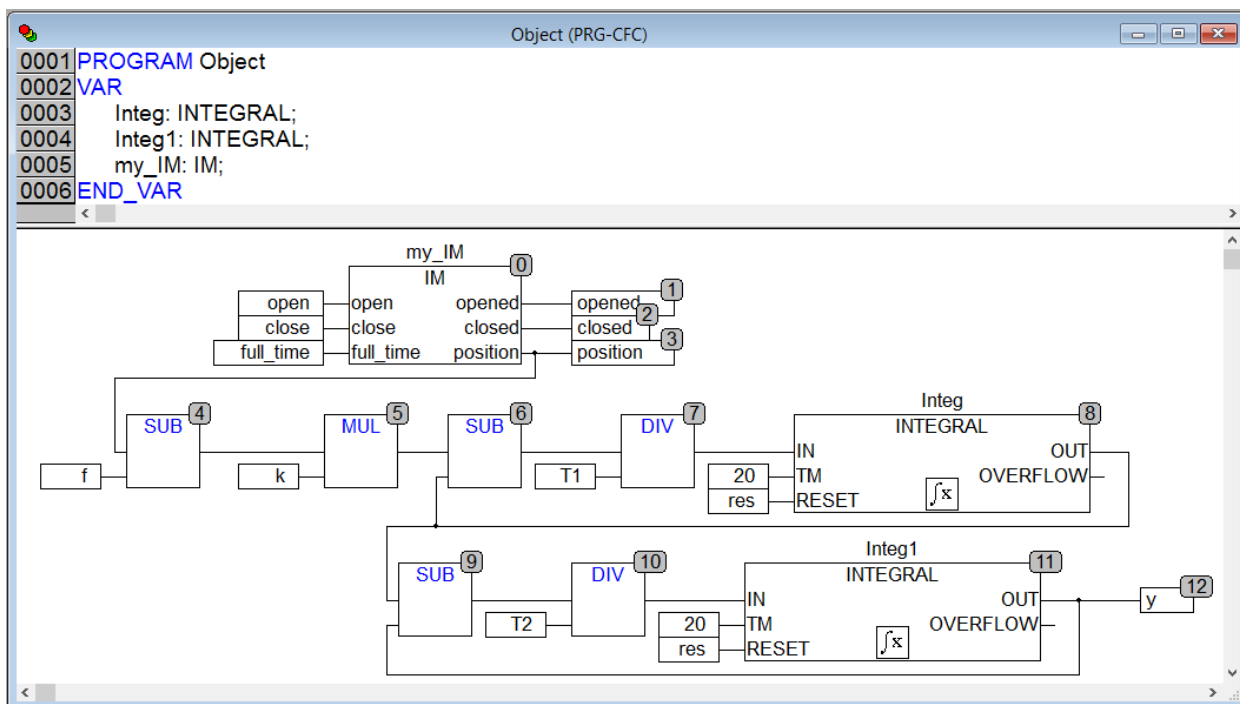


Рис. 63. Программная модель объекта управления

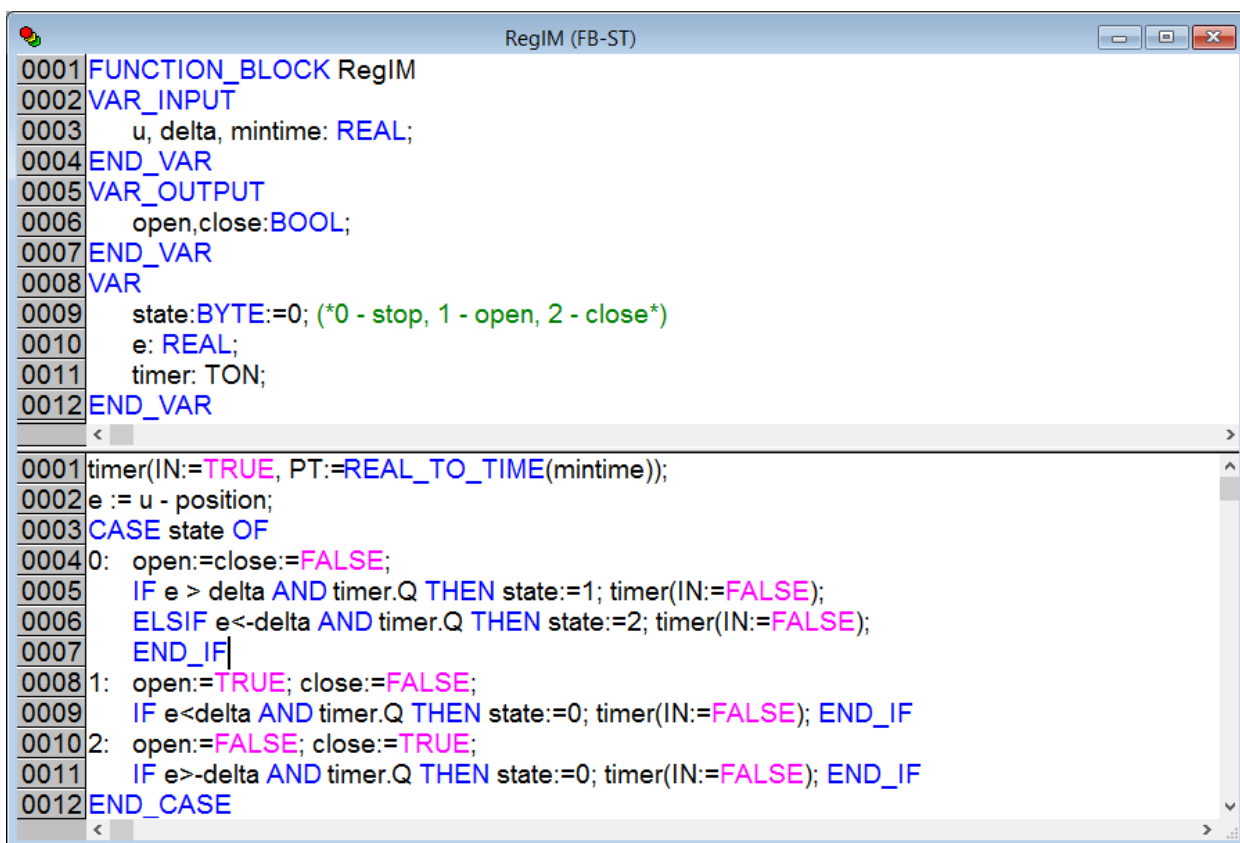


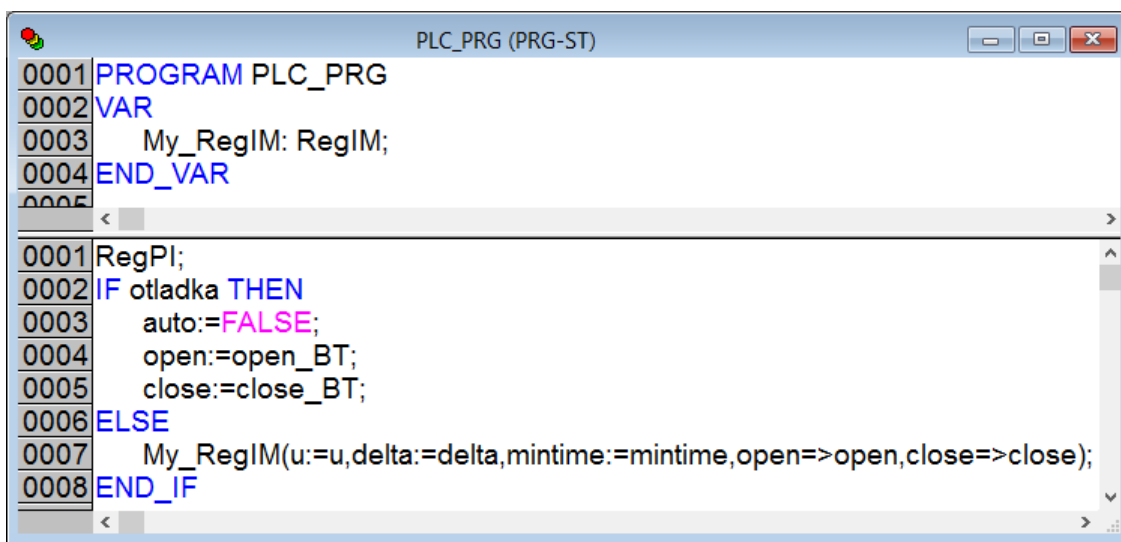
Рис. 64. Регулятор положения исполнительного механизма

Строго говоря, блок RegIM реализует трехпозиционный закон без гистерезиса, показанного на рис. 58. Защита от частых срабатываний осуществляется «напрямую» – путем запрета переводить привод из состояния «вклю-

чен» (точнее, двух состояний) в состояние «выключен» и обратно в течение времени *mintime*, отсчитываемого таймером. Таймер перезапускается при переходе из одного состояния в другое.

ПИ-регулятор по-прежнему оформлен в виде отдельной программы *RegPI* на языке СFC, см. рис. 47.

Программа *PLC\_PRG*, свободно вызываемая в «своей» задаче, показана на рис. 65. Независимо от режима в *PLC\_PRG* вызывается программа ПИ-регулирования. В ручном режиме и в режиме «Отладка» ПИ-регулятор «повторяет» сигнал ручного управления, в автоматическом – формирует управляющий сигнал самостоятельно. В режиме «Отладка» выход регулятора никак не используется, поскольку команды приводу выдает оператор с помощью кнопок панели. В ручном и автоматическом режимах выходной сигнал регулятора подается на вход экземпляра функционального блока *RegIM* (релейный регулятор положения привода).



```
0001 PROGRAM PLC_PRG
0002 VAR
0003   My_RegIM: RegIM;
0004 END_VAR
0005
0001 RegPI;
0002 IF otladka THEN
0003   auto:=FALSE;
0004   open:=open_BT;
0005   close:=close_BT;
0006 ELSE
0007   My_RegIM(u:=u,delta:=delta,mintime:=mintime,open=>open,close=>close);
0008 END_IF
```

Рис. 65. Программа *PLC\_PRG*

## 2.6 Система программного регулирования

Объектом управления является технологический процесс термической обработки некоторого жидкого продукта. Процесс осуществляется в емкости, в нижней части которой установлен трубчатый электрический нагреватель (ТЭН), мощность которого плавно регулируется при помощи тиристорного регулятора напряжения. Подачей и сливом продукта управляют электромагнитные клапаны, установленные на трубопроводах подачи и слива (в верхней части и на дне емкости). Уровень продукта контролируется тремя поплавковыми (дискретными) датчиками: максимального уровня, минимального уровня, уровня безопасного включения ТЭН (датчик установлен на отметке, гарантирующей нахождение ТЭН в жидкости).

Основное окно визуализации, имитирующее операторскую панель, показано на рис. 66. С помощью кнопок в нижнем левом углу вызываются дополнительные окна: для ввода параметров объекта (в учебных целях), рис. 67, и для вывода «инструкции» (задания), рис. 68.

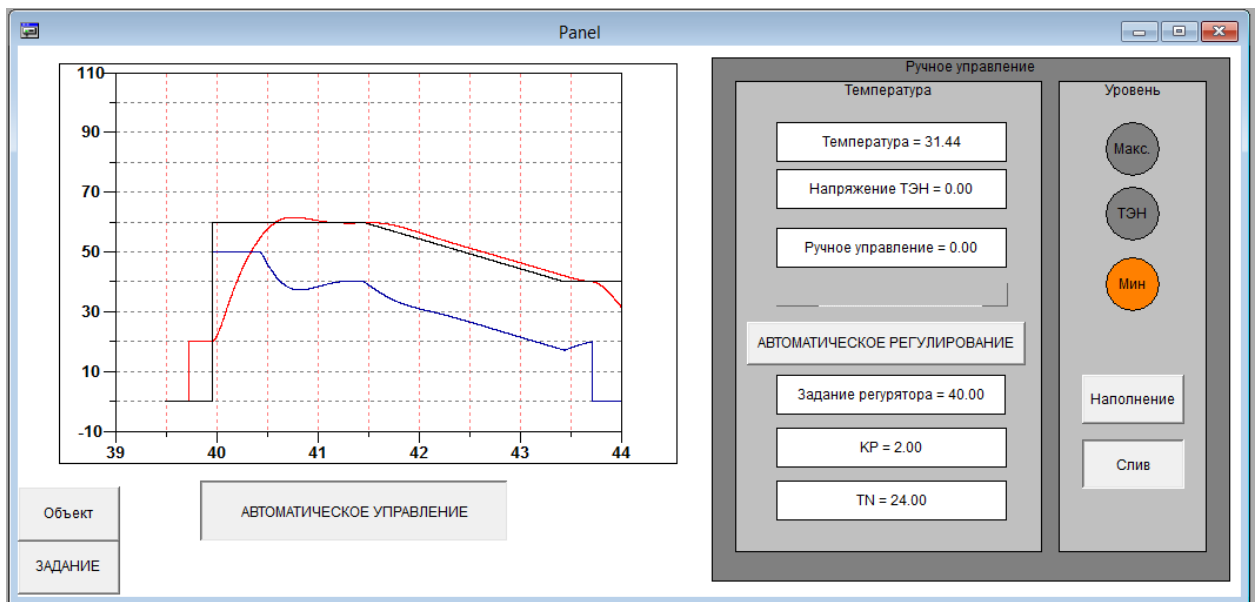


Рис. 66. Панель управления

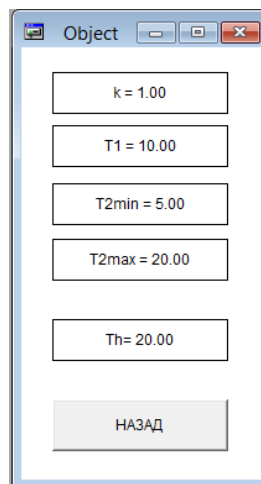


Рис. 67. Окно ввода параметров объекта

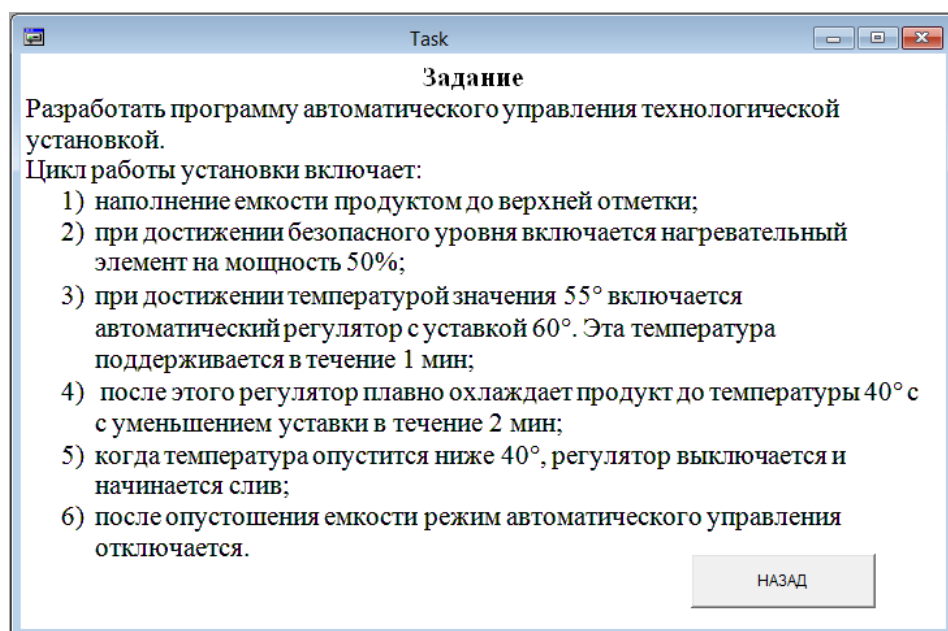


Рис. 68. Окно вывода «инструкции»

Список глобальных переменных проекта приведен на рис. 69.

```

Global_Variables
0001 VAR_GLOBAL
0002 (*ОБЪЕКТ*)
0003 level: REAL; (*уровень в емкости*)
0004 Th: REAL:=20; (*время полного наполнения емкости*)
0005 T1: REAL:=10; (*первая постоянная времени по нагреву - измеритель*)
0006 T2min: REAL:=5; (*вторая постоянная времени по нагреву, минимум*)
0007 T2max: REAL:=20; (*вторая постоянная времени по нагреву, максимум*)
0008 k: REAL:=1; (*коэффициент передачи по нагреву*)
0009 (*ВХОДЫ ПЛК*)
0010 minlevel: BOOL; (*минимальный уровень*)
0011 safelevel: BOOL; (*уровень безопасного включения ТЭН*)
0012 maxlevel: BOOL; (*максимальный уровень*)
0013 temp: REAL; (*температура продукта*)
0014 (*ВЫХОДЫ ПЛК*)
0015 valve_fill: BOOL; (*электромагнитный клапан на линии наполнения*)
0016 valve_drain: BOOL; (*электромагнитный клапан на линии стока*)
0017 u: REAL; (*сигнал управления - напряжение ТЭН*)
0018 (*ВНУТРЕННИЕ ПЕРЕМЕННЫЕ ПЛК*)
0019 temp_sp: REAL; (*здание регулятору температуры*)
0020 res: BOOL; (*сброс всего*)
0021 auto_PI: BOOL; (*автоматический режим работы регулятора*)
0022 auto: BOOL; (*автоматический режим работы системы*)
0023 uman: REAL; (*сигнал ручного управления - напряжение ТЭН*)
0024 KP: REAL:=2; (*коэффициент передачи ПИ-регулятора*)
0025 TN: REAL:=24; (*постоянная времени интегрирования ПИ-регулятора*)
0026 fill_but: BOOL; (*кнопка Наполнение*)
0027 drain_but: BOOL; (*кнопка Слив*)
0028 END_VAR
  
```

Рис. 69. Глобальные переменные проекта

Программная модель объекта управления показана на рис. 70.

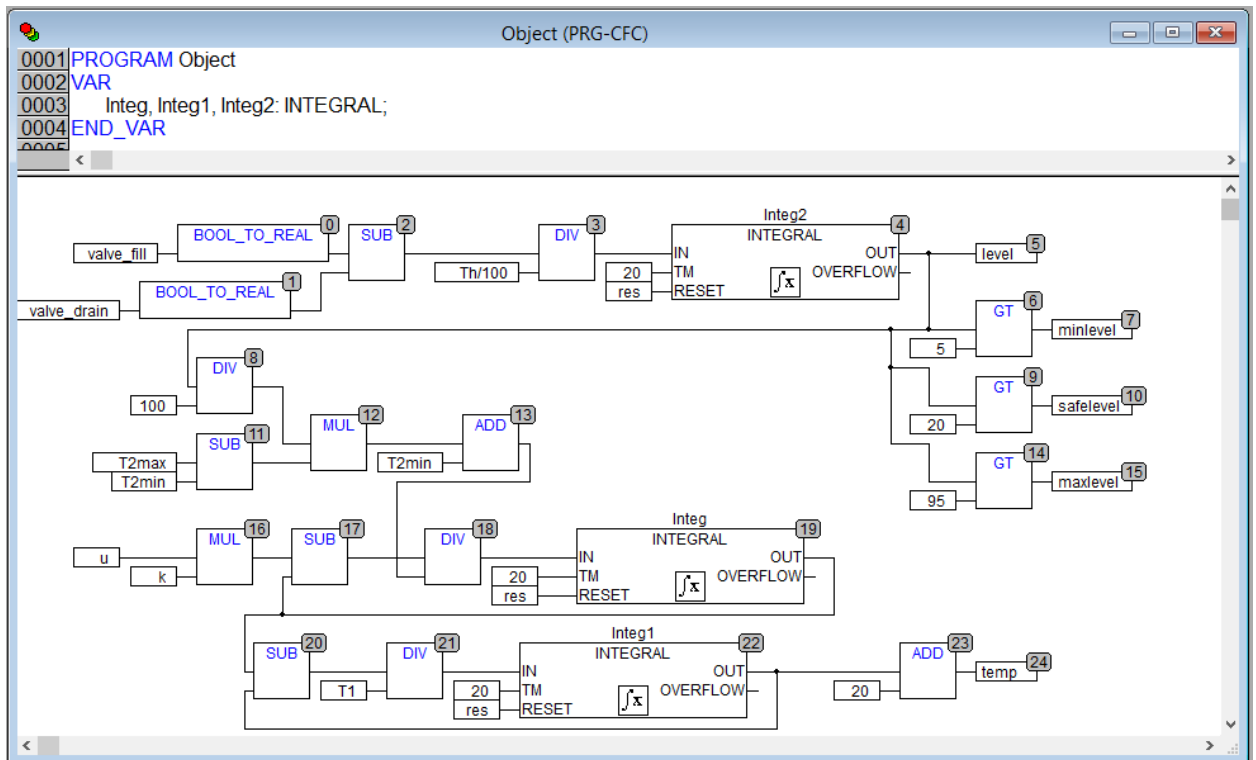


Рис. 70. Программная модель объекта управления

В верхней части диаграммы размещена модель объекта по уровню, построенная на интеграторе `integ2`. Выходные сигналы блоков преобразования типа `BOOL_TO_REAL` при активном состоянии входов принимают единичные значения. Уровень изменяется в диапазоне от 0 до 100%. Следовательно, постоянная времени интегрирования должна быть равна времени полного наполнения  $T_h$ , деленному на 100. Действительно, если в начальный момент времени ( $t = 0$ ) бак был пуст и клапан наполнения открыт, то в момент времени  $t = T_h$  уровень станет равным

$$h(T_h) = \int_0^{T_h} \frac{100}{T_h} \times 1 \times dt = \frac{100}{T_h} t \Big|_0^{T_h} = \frac{100T_h}{T_h} = 100.$$

Объект регулирования по температуре, как и ранее, описывается аperiodическим звеном второго порядка, однако одна из его постоянных времени (вторая) изменяется в зависимости от уровня: чем больше уровень, тем больше эта постоянная и, следовательно, процесс нагрева происходит медленнее. В модели реализована упрощенная линейная зависимости постоянной времени от уровня:

$$T_2 = T_{2,\min} + (T_{2,\max} - T_{2,\min}) \frac{h}{100}.$$

Программа `Object` вызывается в рамках циклически выполняемой задачи.

ПИ-регулятор температуры оформлен в виде отдельной программы `RegPI` на языке `SFC`. В показанной на рис. 47 программе требуется лишь изменить имена входных переменных блоков `reg` и `MOVE: y -> temp, sp -> temp_sp, auto -> auto_PI`.

Программа `PLC_PRG` (вызывается свободно в «своей» задаче) показана на рис. 71.

Если система не находится в режиме автоматического управления, управление клапанами производится с помощью кнопок панели управления. Однако при достижении предельных уровней система автоматически выключает соответствующие кнопки, а, следовательно, наполнение или слив. Ручное и автоматическое (при ручном задании уставки) регулирование температуры запрещается, если уровень ниже безопасного.

В режиме автоматического управления выполняется пошаговый процесс, воспроизводящий «инструкцию», см. рис. 68.

На этапе 0 производится наполнение емкости продуктом до «безопасного уровня» без включения нагревательного элемента: регулятор находится в режиме ручного управления, сигнал управления равен нулю.

На этапе 1 нагреватель включается на 50% мощности. Сигнал задания устанавливается равным  $60^\circ$ , хотя регулятор по-прежнему остается в ручном режиме. «Подготовка» уставки позволит в дальнейшем безударно перейти в режим автоматического регулирования.

```

PLC_PRG (PRG-ST)
0001 PROGRAM PLC_PRG
0002 VAR
0003     state:BYTE:=0;
0004     timer: TON;
0005 END_VAR
0006
0001 IF NOT AUTO THEN
0002     valve_fill:= fill_but AND NOT maxlevel;
0003     IF maxlevel THEN
0004         fill_but:=FALSE;
0005     END_IF
0006     valve_drain:=drain_but AND minlevel;
0007     IF NOT minlevel THEN
0008         drain_but:=FALSE;
0009     END_IF
0010     IF NOT safelevel THEN
0011         auto_Pt:=FALSE;
0012         uman:=0;
0013     END_IF
0014     state:=0;
0015 ELSE
0016     CASE state OF
0017     0:
0018         auto_Pt:=FALSE;
0019         uman:=0;
0020         valve_fill:= fill_but:=TRUE;
0021         valve_drain:=drain_but:=FALSE;
0022         IF safelevel THEN state:=1; END_IF
0023     1:
0024         auto_Pt:=FALSE;
0025         temp_sp:=60;
0026         uman:=50;
0027         valve_fill:= fill_but:=NOT maxlevel;
0028         valve_drain:=drain_but:=FALSE;
0029         IF temp > 55 THEN state:=2; END_IF
0030     2:
0031         auto_Pt:=TRUE;
0032         temp_sp:=60;
0033         uman:=50;
0034         valve_fill:= fill_but:=NOT maxlevel;
0035         valve_drain:=drain_but:=FALSE;
0036         timer(IN:=TRUE, PT:=#1m);
0037         IF timer.Q THEN state:=3; timer(IN:=FALSE); END_IF
0038     3:
0039         auto_Pt:=TRUE;
0040         uman:=0;
0041         valve_fill:= fill_but:=NOT maxlevel;
0042         valve_drain:=drain_but:=FALSE;
0043         timer(IN:=TRUE, PT:=#2m);
0044         temp_sp:=60 - TIME_TO_REAL(timer.ET)/1000*1/6;
0045         IF timer.Q AND temp < 40 THEN state:=4; timer(IN:=FALSE); END_IF
0046     4:
0047         auto_Pt:=FALSE;
0048         uman:=0;
0049         valve_fill:= fill_but:=FALSE;
0050         valve_drain:=drain_but:=minlevel;
0051         IF NOT minlevel THEN auto :=FALSE; END_IF
0052     END_CASE
0053 END_IF
0054 RegPI;
0055

```

Рис. 71. Программа PLC\_PRG

На этапе 2 в течение 1 минуты производится стабилизация температуры на уровне 60°.

На этапе 3 производится плавное охлаждение продукта, уставка регулятора в течение 2 минут снижается с 60° до 40°. Переход к следующему этапу происходит в момент, когда температура действительно достигнет 40°.

На этапе 4 осуществляется слив продукта с последующим отключением режима автоматического управления.

В режиме автоматического управления необходимо предусмотреть запрет пользователю вводить значения сигнала ручного управления, изменять режим работы регулятора и его уставку. Для полей ввода числовых значений и кнопки это можно сделать «напрямую», как показано на рис. 72.

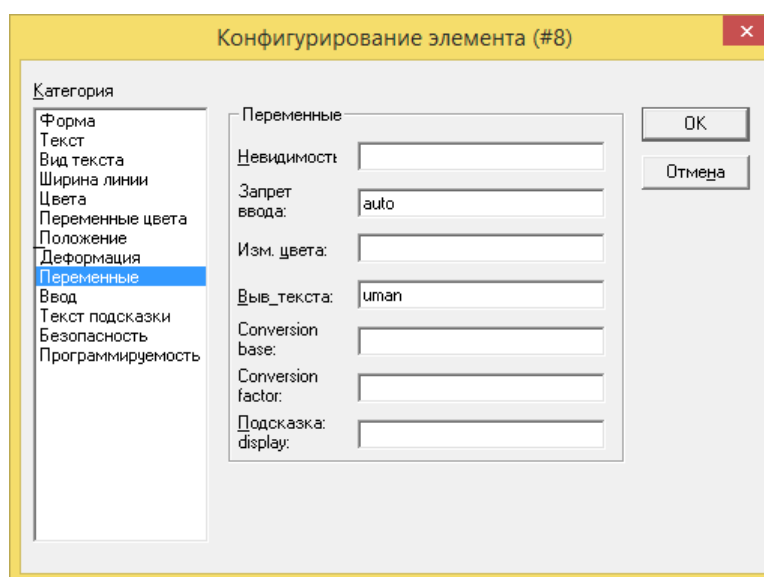


Рис. 72. Запрет ввода

«Ползунок» задания сигнала ручного управления в режиме автоматического управления можно сделать невидимым, рис. 73.

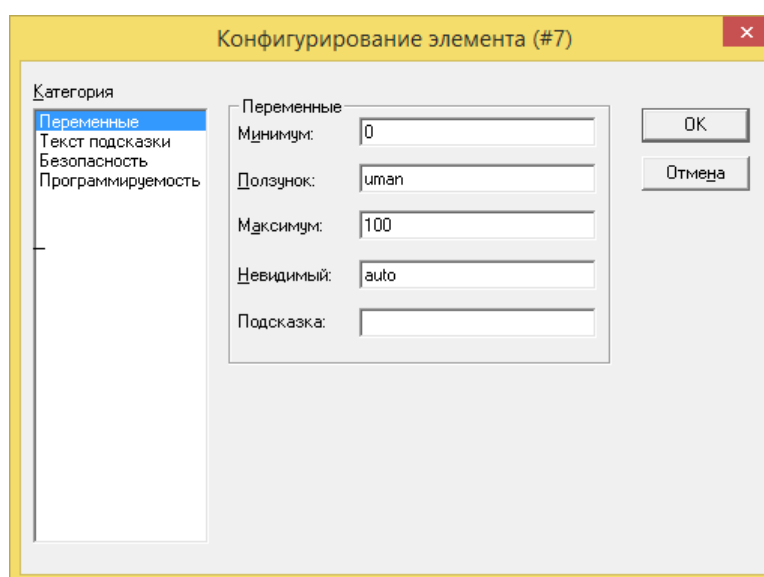


Рис. 73. Скрытие ползунка в автоматическом режиме

### 3 ЧИСЛОВОЕ ПРОГРАММНОЕ УПРАВЛЕНИЕ

В системах числового программного управления программа изменения положения различных органов и приводов механизма отделена от «исполнительной системы» (часть которой – тоже программа) и выполняется ею. Таким образом, нужно разделять систему исполнения и «программу движения». Последняя в простейшем случае может быть представлена жестко структурированным массивом, содержащим задания регуляторам и другую необходимую информацию для каждого «шага» движения.

Далее рассматривается упрощенная система управления манипулятором, перемещающим цилиндрические металлические детали с падающего транспортера на «поддоны» с помощью электромагнитного схвата, рис. 74-78.

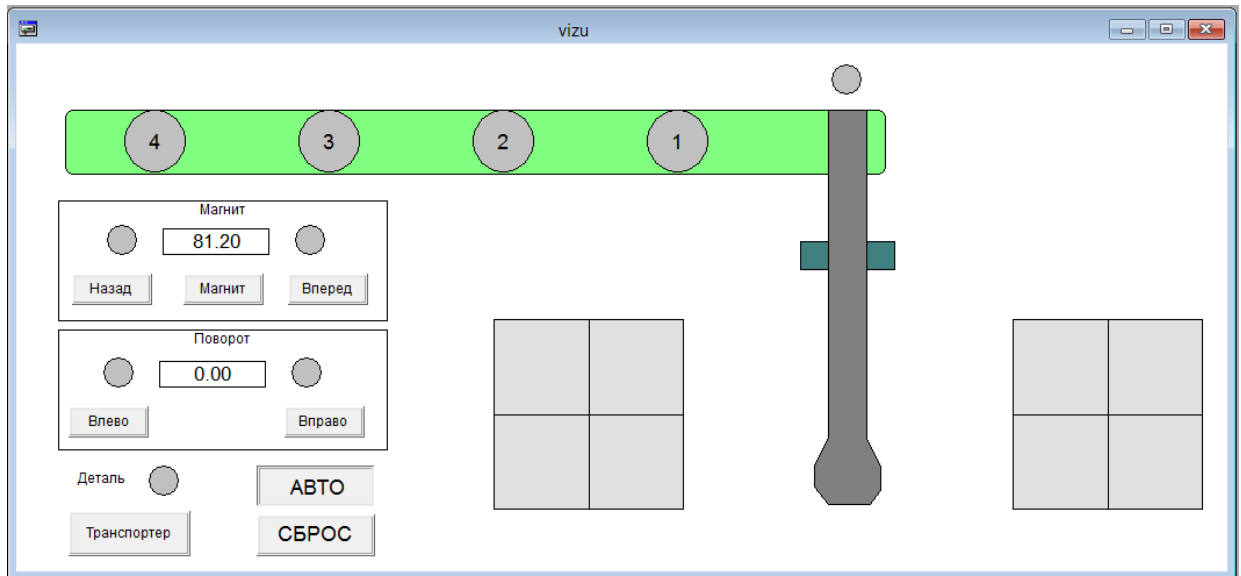


Рис. 74. Манипулятор в работе: ожидание первой детали

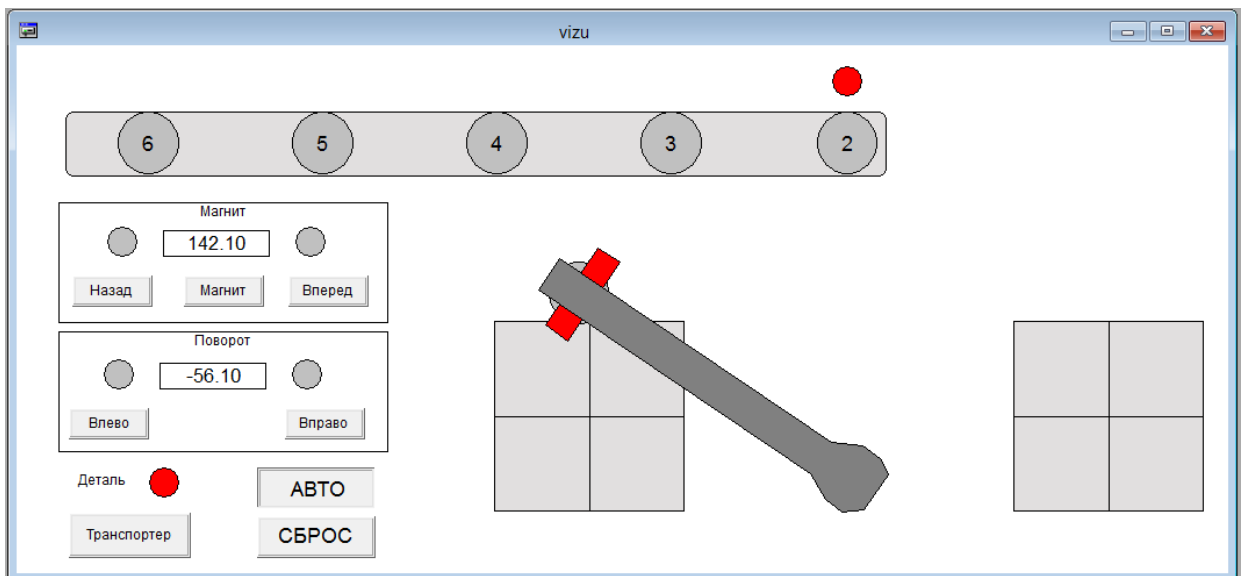


Рис. 75. Манипулятор в работе: перемещение первой детали

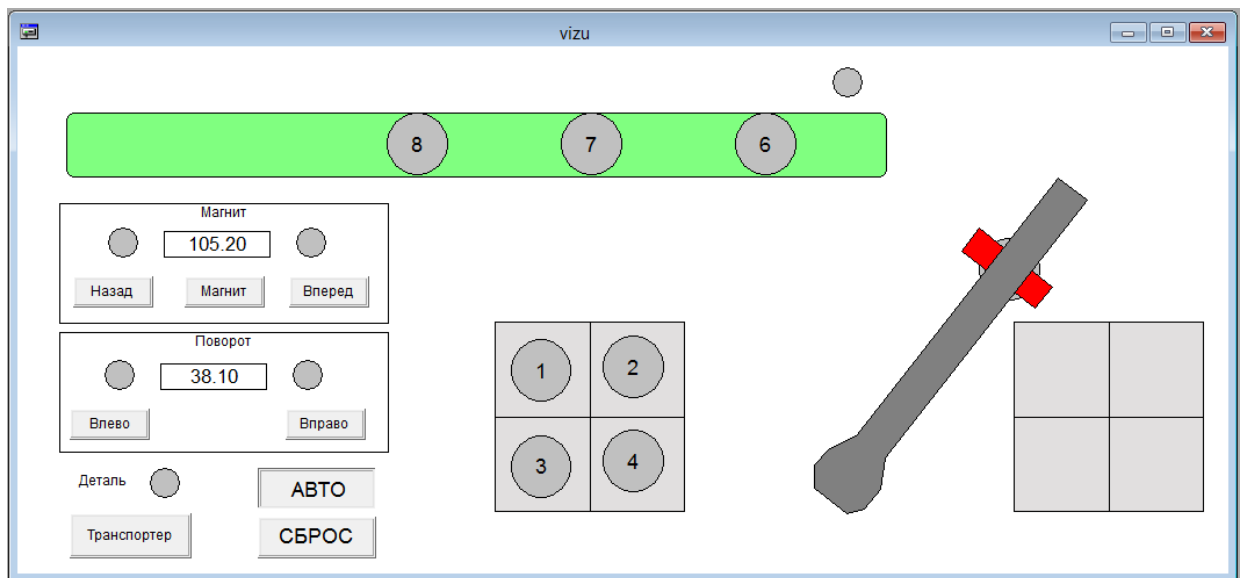


Рис. 76. Манипулятор в работе: перемещение пятой детали

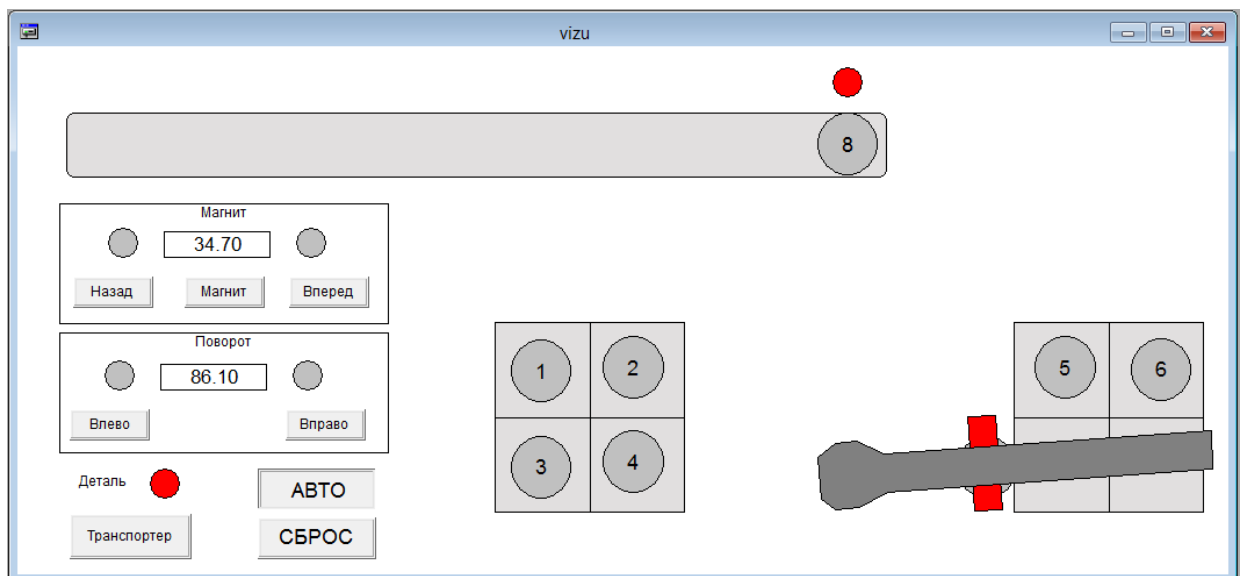


Рис. 77. Манипулятор в работе: перемещение седьмой детали

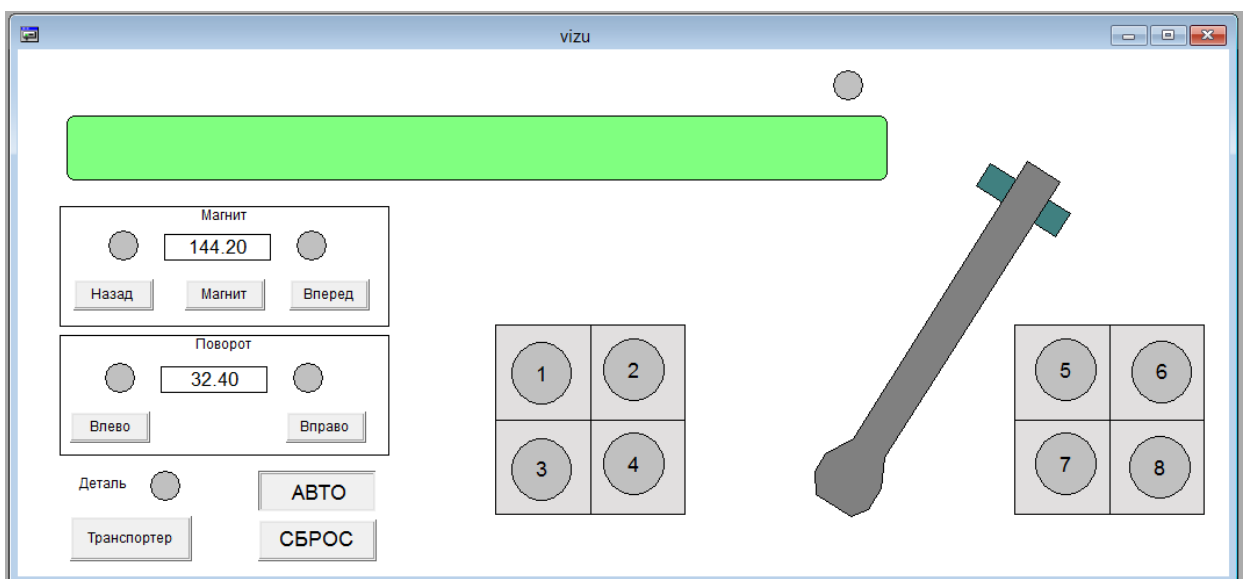


Рис. 78. Манипулятор в работе: возврат в исходное положение

В автоматическом режиме цикл работы манипулятора ограничен перемещением восьми деталей. Предполагается, что после этого погрузчик заменит заполненные поддоны на пустые, и цикл повторится сначала. Можно также организовать работу таким образом, чтобы во время заполнения одного поддона заменялся другой, тогда манипулятор будет работать «непрерывно», но в нашем случае такая задача не ставится, поскольку это «перегрузило» бы программную модель объекта, практически никак не затрагивая алгоритмов управления.

Список глобальных переменных приведен на рис. 79.

```

0001 VAR_GLOBAL
0002 (*ВХОДЫ КОНТРОЛЛЕРА*)
0003 angle:REAL:=0; (*угол поворота манипулятора*)
0004 pos:REAL:=50; (*продольное перемещение магнита*)
0005 off_clock_KV, on_clock_KV:BOOL; (*концевые выключатели поворота*)
0006 magn_back_KV, magn_forv_KV:BOOL; (*концевые выключатели перемещения магнита*)
0007 on_place:BOOL:=FALSE; (*датчик наличия детали*)
0008
0009 (*ВЫХОДЫ КОНТРОЛЛЕРА*)
0010 transp: BOOL:=FALSE; (*транспортер включить*)
0011 magn_forv:BOOL:=FALSE; (*включить магнит вперед*)
0012 magn_back:BOOL:=FALSE; (*включить магнит назад*)
0013 off_clock:BOOL:=FALSE; (*поворот против часовой*)
0014 on_clock:BOOL:=FALSE; (*поворот по часовой*)
0015 magn: BOOL:=FALSE; (*включение магнита*)
0016
0017 (*ОРГАНЫ ВИЗУАЛИЗАЦИИ*)
0018 magn_forv_but:BOOL:=FALSE; (*кнопка "Магнит вперед"*)
0019 magn_back_but:BOOL:=FALSE; (*кнопка "Магнит назад"*)
0020 magn_but:BOOL:=FALSE; (*кнопка "Магнит включить"*)
0021 off_clock_but:BOOL:=FALSE; (*кнопка поворота против часовой*)
0022 on_clock_but:BOOL:=FALSE; (*кнопка поворота по часовой*)
0023 transp_but:BOOL:=FALSE; (*кнопка включения транспортера*)
0024 auto:BOOL:=FALSE; (*автоматический режим*)
0025
0026 (*НАСТРОЙКИ*)
0027 transp_speed: REAL:=0.3; (*"скорость" транспортера*)
0028 magn_speed: REAL:=0.3; (*"скорость" магнита*)
0029 rot_speed: REAL:=0.3; (*"скорость" поворота*)
0030
0031 (*ВСПОМОГАТЕЛЬНЫЕ ПЕРЕМЕННЫЕ*)
0032 magnX:REAL:=0; (*положение магнита по x относительно исходного*)
0033 magnY:REAL:=0; (*положение магнита по y относительно исходного*)
0034 bodies: ARRAY [1..8] OF body:= (name:=1,x:=-130,y:=-190,a:=0,invisible:=TRUE, state:=0),
0035                                     (name:=2, x:=-230,y:=-190,a:=0,invisible:=TRUE, state:=0),
0036                                     (name:=3,x:=-330,y:=-190,a:=0,invisible:=TRUE, state:=0),
0037                                     (name:=4,x:=-430,y:=-190,a:=0,invisible:=TRUE, state:=0),
0038                                     (name:=5,x:=-530,y:=-190,a:=0,invisible:=TRUE, state:=0),
0039                                     (name:=6,x:=-630,y:=-190,a:=0,invisible:=TRUE, state:=0),
0040                                     (name:=7,x:=-730,y:=-190,a:=0,invisible:=TRUE, state:=0),
0041                                     (name:=8,x:=-830,y:=-190,a:=0,invisible:=TRUE, state:=0);
0042 res: BOOL; (*сброс*)
0043 END_VAR
  
```

Рис. 79. Глобальные переменные проекта

В списке вспомогательных переменных присутствует массив `bodies` из восьми структур типа `body`, описывающих перемещаемые детали. Объявление структурного типа показано на рис. 80.

```

0001 TYPE body :
0002 STRUCT
0003   name:BYTE:=0;
0004   x:REAL:=0;
0005   y:REAL:=0;
0006   a:REAL:=0;
0007   invisible:BOOL:=FALSE;
0008   state:BYTE:=0; (*0 - на ленте, 1 - в схвате, 2 - в корзине, 3 - на полу, 4 и более - вне игры*)
0009 END_STRUCT
0010 END_TYPE

```

Рис. 80. Структурный тип body

На визуализации все восемь деталей (окружностей) «первоначально» располагаются в центре вращения манипулятора (элемент «полигон»). Эта точка является началом координат во всей системе.

Положением и состоянием деталей управляют переменные из массива bodies, как показано на рис. 81, 82 для восьмой детали.

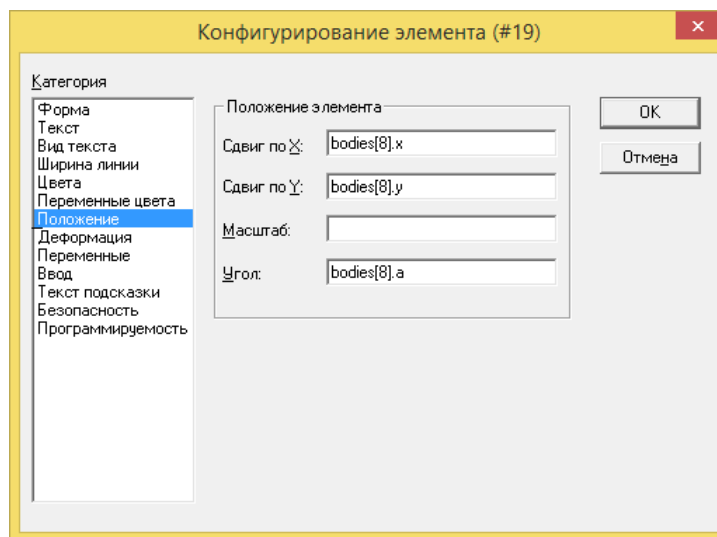


Рис. 81. Управление положением восьмой детали

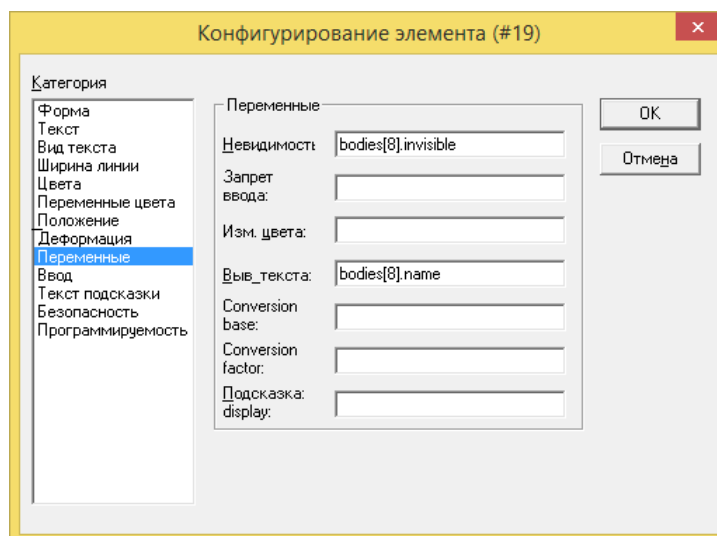


Рис. 82. Управление состоянием восьмой детали

Программа, моделирующая объект управления, показана на рис. 83.

```

0001 PROGRAM DVIZHOK
0002 VAR
0003   i: BYTE;
0004   delta1: REAL:=5; (**точность" захвата детали*)
0005   delta2: REAL:=2; (**точность" обнаружения детали*)
0006 END_VAR

0001 magn_forv_KV:= pos>155;
0002 magn_back_KV:=pos<1;
0003
0004 IF magn_forv AND NOT magn_back AND NOT magn_forv_KV THEN
0005   pos:=pos+magn_speed;
0006 ELSIF NOT magn_forv AND magn_back AND NOT magn_back_KV THEN
0007   pos:=pos-magn_speed;
0008 END_IF
0009
0010 on_clock_KV:= angle>120;
0011 off_clock_KV:=angle<-120;
0012 IF on_clock AND NOT off_clock AND NOT on_clock_KV THEN
0013   angle:=angle+rot_speed;
0014 ELSIF NOT on_clock AND off_clock AND NOT off_clock_KV THEN
0015   angle:=angle-rot_speed;
0016 END_IF
0017
0018 magnX:=REAL_TO_INT(pos*SIN(angle*3.1416/180));
0019 magnY:=-REAL_TO_INT(pos*COS(angle*3.1416/180));
0020

0021 FOR i:= 1 TO 8 DO
0022   CASE bodies[i].state OF
0023     0: (**на ленте*)
0024     IF bodies[i].x < -430 THEN
0025       bodies[i].invisible:=TRUE;
0026     ELSE
0027       bodies[i].invisible:=FALSE;
0028     END_IF
0029     IF transp THEN
0030       bodies[i].x:=bodies[i].x+transp_speed;
0031     END_IF
0032     IF bodies[i].x > 50 THEN
0033       bodies[i].state:=3;
0034     END_IF
0035     IF ABS(bodies[i].x - (pos+45)*SIN(angle*3.1416/180))<delta1 AND
0036       ABS(bodies[i].y +(pos+45)*COS(angle*3.1416/180)) <delta1 AND magn THEN
0037       bodies[i].state:=1;
0038     END_IF
0039     1: (**в схвате*)
0040     bodies[i].x:=(pos+45)*SIN(angle*3.1416/180);
0041     bodies[i].y:= -(pos+45)*COS(angle*3.1416/180);
0042     bodies[i].a:=angle;
0043     IF NOT magn THEN
0044       IF (bodies[i].x > -188 AND bodies[i].x < -112 AND bodies[i].y > -70 AND bodies[i].y < 4) OR
0045         (bodies[i].x < 188 AND bodies[i].x > 112 AND bodies[i].y > -70 AND bodies[i].y < 4) THEN
0046         bodies[i].state:=2;
0047       ELSE
0048         bodies[i].state:=3;
0049       END_IF
0050     END_IF
0051     2: (**в корзине*)
0052     bodies[i].state:=2; (**заглушка*)
0053     3: (** на полу*)
0054     bodies[i].invisible:=TRUE;
0055   END_CASE
0056 END_FOR;
0057
0058 on_place:=FALSE;
0059 FOR i:= 1 TO 8 DO
0060   IF bodies[i].x < delta2 AND bodies[i].x >-delta2 AND bodies[i].y < -190+delta2 AND bodies[i].y >-190-delta2 THEN
0061     on_place:=TRUE;
0062   END_IF
0063 END_FOR;

```

Рис. 83. Программная модель объекта управления

На основе анализа существующего состояния объекта и управляющих сигналов модель формирует для контроллера входные сигналы:

- концевых выключателей и измерителей положения приводов поворота манипулятора и перемещения магнита;

- датчика обнаружения детали в зоне захвата.

Кроме того, модель обслуживает визуализацию, рассчитывая:

- координаты магнита на визуализации. Магнит представлен элементом «полигон», его центр вращения совпадает с центром вращения манипулятора, поэтому он «автоматически» поворачивается вместе с «носителем», однако вследствие продольного перемещения координаты магнита требуют расчета;

- положение и состояние всех деталей. В цикле FOR анализируется состояние каждой детали и в зависимости от него выполняются соответствующие действия, включая возможную смену состояния. Если деталь находится на ленте, определяется ее видимость. Когда транспортер находится во включенном состоянии, пересчитывается положение детали. Если деталь находится под магнитом (с определенным допуском) и магнит включен, деталь переходит в состояние «в схвате». В этом состоянии координаты детали совпадают с координатами магнита. При отключении магнита определяется новое состояние детали. Если ее текущие координаты попадают в квадраты поддонов, деталь переходит в состояние «в корзине», иначе – в состояние «на полу». В состоянии «в корзине» с деталью не происходит ничего (это задел для возможной будущей модификации программы). В состоянии «на полу» деталь становится невидимой.

На данном этапе система является уже вполне работоспособной. Если в программе PLC\_PRG предусмотреть «трансляцию» значений переменных, привязанных к кнопкам панели управления, в выходные переменные контроллера, можно управлять процессом переноса деталей вручную.

Автоматическое управление будет реализовано при помощи регуляторов положения приводов поворота манипулятора и перемещения магнита. Здесь будут задействованы простейшие релейные трехпозиционные регуляторы – экземпляры функционального блока Regulator, рис. 84.

Входными переменными блока являются заданное и фактическое положение привода, а также величина зоны нечувствительности. Выходные переменные – команды на включение привода в прямом и обратном направлениях, и сигнал ОК об окончании процесса позиционирования.

Во внутреннюю локальную переменную  $e$  заносится значение ошибки регулирования. По результатам сравнения ошибки с порогами срабатывания принимаются решения о включении привода в том или ином направлении.

Собственно числовое программное управление осуществляется программой, показанной на рис. 85.

```

0001 FUNCTION_BLOCK Regulator
0002 VAR_INPUT
0003     val,ref:REAL;
0004     delta:REAL;
0005 END_VAR
0006 VAR_OUTPUT
0007     forw,back:BOOL;
0008     OK:BOOL;
0009 END_VAR
0010 VAR
0011     e: REAL;
0012 END_VAR
0013
0001 e:=ref-val;
0002 IF e > delta THEN
0003     forw:=TRUE;
0004     back:=FALSE;
0005     OK:=FALSE;
0006 ELSIF e < -delta THEN
0007     forw:=FALSE;
0008     back:=TRUE;
0009     OK:=FALSE;
0010 ELSE
0011     forw:=FALSE;
0012     back:=FALSE;
0013     OK:=TRUE;
0014 END_IF

```

Рис. 84. Регулятор положения

Программа движения для простоты оформлена в виде двумерного целочисленного массива `MOVE_PROG`. Массив может состоять из произвольного количества «строк», каждая из которых описывает позицию манипулятора и выполняемые в этой позиции действия и состоит из 4 чисел. Первые два числа – это заданные координаты манипулятора (перемещение магнита и угол поворота манипулятора), третье число – заданное состояние магнита (0 – выключен, 1 – включен), четвертое – выдержка времени (в мс) после отработки регуляторов до начала перехода в следующую позицию.

Массив объявлен в секции `VAR CONSTANT`, т.е., по сути, является константой. Поэтому при отладке программы движения каждая загрузка проекта в контроллер будет обновлять значения элементов массива без сброса контроллера, который потребовался бы при объявлении массива переменной. Это чрезвычайно упрощает отладку.

Программа вызывает на исполнение два экземпляра функционального блока `Regulator` (регуляторы положения магнита `RegP` и угла поворота манипулятора `RegA`), передавая им в качестве заданий соответствующие значения из массива `MOVE_PROG`. По окончании отработки заданий регуляторы сообщают об этом установкой локальных переменных `ok1` и `ok2` в `TRUE`.

Включение магнита, если он еще не был включен, производится при наличии указания на это и срабатывании датчика наличия детали в зоне захвата. После включения магнита устанавливается в `TRUE` переменная `ok3`.

После того, как все механизмы отработали, запускается таймер. Выдержка времени берется из массива `MOVE_PROG`.

```

cnc (PRG-ST)
0001 PROGRAM cnc
0002 VAR CONSTANT
0003 MOVE_PROG: ARRAY[1..44,1..4] OF INT :=
0004 145,0,0,0, 145,0,1,1000, 90,0,1,0, 143,-72,1,500, 143,-72,0,1000,
0005 145,0,0,0, 145,0,1,1000, 120,0,1,0, 94,-64,1,500, 94,-64,0,1000,
0006 145,0,0,0, 145,0,1,1000, 50,0,1,0, 30,-89,1,0, 133,-89,1,500, 133,-89,0,1000,
0007 145,0,0,0, 145,0,1,1000, 50,0,1,0, 30,-87,1,0, 81,-87,1,500, 81,-87,0,1000,
0008
0009 145,0,0,0, 145,0,1,1000, 94,64,1,500, 94,64,0,1000,
0010 145,0,0,0, 145,0,1,1000, 144,72,1,500, 144,72,0,1000,
0011 145,0,0,0, 145,0,1,1000, 50,0,1,0, 30,87,1,0, 81,87,1,500, 81,87,0,1000,
0012 145,0,0,0, 145,0,1,1000, 30,0,1,0, 30,105,1,0, 145,105,1,0, 133,87,1,500, 133,87,0,1000,
0013 145,0,0,0;
0014
0015 n:BYTE:=44;
0016 END_VAR
0017 VAR
0018 RegP, RegA:Regulator;
0019 i:BYTE:=1;
0020 ok1:BOOL:=FALSE; ok2:BOOL:=FALSE; ok3:BOOL:=FALSE;
0021 timer:TON;
0022 END_VAR

0001 IF NOT auto THEN i:=1; timer(IN:=FALSE); RETURN; END_IF
0002
0003 RegP(val:=pos, ref:=MOVE_PROG[i,1], delta:=1,forv=>magn_forv, back=>magn_back, OK=> ok1);
0004 RegA(val:=angle, ref:=MOVE_PROG[i,2], delta:=1,forv=>on_clock, back=>off_clock, OK=> ok2);
0005
0006 IF NOT magn AND MOVE_PROG[i,3] = 1 THEN
0007 IF on_place THEN
0008 magn:=TRUE;
0009 ok3:=TRUE;
0010 ELSE
0011 ok3:=FALSE;
0012 END_IF
0013 ELSE
0014 magn:=INT_TO_BOOL(MOVE_PROG[i,3]);
0015 ok3:=TRUE;
0016 END_IF
0017
0018 IF ok1 AND ok2 AND ok3 THEN
0019 timer(IN:=TRUE, PT:=INT_TO_TIME(MOVE_PROG[i,4]));
0020 IF timer.Q THEN
0021 timer(IN:=FALSE);
0022 IF i < n THEN
0023 i:=i+1;
0024 END_IF
0025 END_IF
0026 END_IF

```

Рис. 85. Программа ЧПУ

При срабатывании таймера локальная переменная *i* увеличивается на единицу и программа переходит к выполнению следующего шага программы движения (если текущий шаг не был последним).

Программа PLC\_PRG приведена на рис. 86.

В ручном режиме управление процессом производится при помощи кнопок. Имеется также возможность «сброса системы» вызовом программы SBROS. В автоматическом режиме производится включение транспортера при отсутствии детали в зоне захвата. Программа ЧПУ запускается вне зависимости от режима (это требуется для возобновления ее корректной работы после сброса), также как и модель объекта.

```
0001 PROGRAM PLC_PRG
0002 VAR
0003 END_VAR
0004
0001 IF NOT auto THEN
0002 IF res THEN SBROS; END_IF
0003 magn_forv:=magn_forv_but;
0004 magn_back:=magn_back_but;
0005 magn:=magn_but;
0006 on_clock:=on_clock_but;
0007 off_clock:=off_clock_but;
0008 transp:=transp_but;
0009 ELSE
0010 transp:=NOT on_place;
0011 END_IF
0012 cnc;
0013 DVIZHOK;
```

Рис. 86. Программа PLC\_PRG

Программа сброса, рис. 87, предназначена для быстрого приведения системы в начальное состояние без сброса контроллера. Эта программа предназначена исключительно для отладки системы.

```
0001 PROGRAM SBROS
0002 VAR
0003 END_VAR
0004
0001 angle:=0;
0002 pos:=50;
0003 on_place:=FALSE;
0004 transp_but:=FALSE;
0005 auto:=FALSE;
0006 bodies[1].name:=1; bodies[1].x:=-130; bodies[1].y:=-190;bodies[1].a:=0; bodies[1].invisible:=TRUE; bodies[1]. state:=0;
0007 bodies[2].name:=2; bodies[2].x:=-230; bodies[2].y:=-190;bodies[2].a:=0; bodies[2].invisible:=TRUE; bodies[2]. state:=0;
0008 bodies[3].name:=3; bodies[3].x:=-330; bodies[3].y:=-190;bodies[3].a:=0; bodies[3].invisible:=TRUE; bodies[3]. state:=0;
0009 bodies[4].name:=4; bodies[4].x:=-430; bodies[4].y:=-190;bodies[4].a:=0; bodies[4].invisible:=TRUE; bodies[4]. state:=0;
0010 bodies[5].name:=5; bodies[5].x:=-530; bodies[5].y:=-190;bodies[5].a:=0; bodies[5].invisible:=TRUE; bodies[5]. state:=0;
0011 bodies[6].name:=6; bodies[6].x:=-630; bodies[6].y:=-190;bodies[6].a:=0; bodies[6].invisible:=TRUE; bodies[6]. state:=0;
0012 bodies[7].name:=7; bodies[7].x:=-730; bodies[7].y:=-190;bodies[7].a:=0; bodies[7].invisible:=TRUE; bodies[7]. state:=0;
0013 bodies[8].name:=8; bodies[8].x:=-830; bodies[8].y:=-190;bodies[8].a:=0; bodies[8].invisible:=TRUE; bodies[8]. state:=0;
0014
```

Рис. 87. Программа SBROS

### *БИБЛИОГРАФИЧЕСКИЙ СПИСОК*

1. Руководство пользователя по программированию ПЛК в CoDeSys 2.3. – Режим доступа: [https://www.owen.ru/product/codesys\\_v2/768](https://www.owen.ru/product/codesys_v2/768).
2. Рыбалев А.Н. Имитационное моделирование АСУ ТП. – Благовещенск: Амурский гос. ун-т, 2019. – 408 с.
3. Лупал А.М. Теория автоматов: Учеб. пособие/СПбГУАП.СПб, 2000. 119 с.

***Адрес редакции и издателя:***

675027, г. Благовещенск, Игнатьевское шоссе, 21, комн. 406.

***Адрес типографии:***

675000, г. Благовещенск, ул. Мухина, 150а

***Адрес учредителя:***

ФБГОУ ВО «Амурский государственный университет»  
675027, г. Благовещенск, Игнатьевское шоссе, 21.

**Андрей Николаевич Рыбалёв,**

*доцент кафедры АППиЭ АмГУ, канд. техн. наук.*

***Имитационное моделирование АСУ ТП. Монография.***

---

Издательство АмГУ. Подписано к печати \_\_.03.2023. Дата выхода журнала в свет: \_\_.03.2023. Редактор – *О.К. Мамонтова*. Компьютерная верстка – *Л.М. Пейзель*. Формат 60 x 84/16. Усл. печ. л. 3,68. Тираж \_\_. Заказ \_\_. Бесплатно.

Отпечатано в типографии АмГУ.